"G E O S"

**Studio Tecnico-Geologico** 

del Dr. Geologo Sandro POZZI

Via San Nicola n° 36 – Pianella (PE)

C. F. PZZ SDR 49M14 G555U

P. I. 01643270687

Tel e fax 085.97.32.53

Cell. 333. 1779517

E-mail: sandro.pozzi@geologiabruzzo.org

\_\_\_\_\_\_

#### COMUNE DI PESCARA

COMMITTENTI : CALVARESI ANTONIO e ORLANDO COSTANTINA MARIA Via Vittoria Colonna nº 49 - Pescara

PROGETTO: Realizzazione di un nuovo impianto sportivo, comportante variazione allo strumento urbanistico, in Via Pizzo Intermesoli del Comune di Pescara.

#### RELAZIONE GEOLOGICA

IL TECNICO DOTT. GEOLOGO SANDRO POZZI

#### **PREMESSA**

A seguito della richiesta del Genio Civile di PESCARA, su incarico dei Sig.ri Antonio CALVARESI e Maria Costantina ORLANDO, nella presente relazione sono esposti i risultati di uno studio geologico e geotecnico per la Realizzazione di un nuovo impianto sportivo, comportante variazione allo strumento urbanistico, in Via Pizzo Intermesoli del Comune di Pescara.

Lo studio è finalizzato all'identificazione delle caratteristiche geolitologiche, geomorfologiche e idrogeologiche e geotecniche della zona investigata.

Per la valutazione delle caratteristiche litologiche e geomorfologiche dei terreni presenti il sottosuolo, oltre alla Carta Geologica, si è fatto riferimento ai dati ricavati da:

- Sondaggio a carotaggio continuo eseguito in sito a mezzo di una sonda idraulica, spinto fino alla profondità - 10 mt dal piano campagna attuale.
- ➤ Prova penetrometrica statica **CPT** a mezzo del penetrometro super pesante **GEO DEEP DRILL**, dai cui risultati si ottiene il riconoscimento delle caratteristiche di Resistenza dei terreni attraversati ed inoltre si evidenzia la litostratigrafia mediante campionatore
- ➤ N° 3 prove penetrometriche dinamiche P eseguite in sito in a mezzo penetrometro "DL030" SUNDA, dai cui risultati si ottiene il riconoscimento delle caratteristiche di Resistenza dei terreni attraversati
- Lineamenti geomorfologici e condizioni di stabilità dell'area d'intervento
- > Documentazione litologica -geotecnica acquisita da studi eseguiti precedentemente in aree limitrofe e geologicamente simili

L'elaborazione e la correlazione dei risultati delle succitate indagini hanno permesso la definizione dei rapporti listratigrafici e geotecnici caratterizzanti il sottosuolo locale.

#### **ALLEGATI:**

- Corografia scala 1:25.000
- Corografia scala 1: 5000
- Planimetria catastale
- Planimetria generale con ubicazione delle opere in progetto
- Planimetria generale con ubicazione del sondaggio e prove penetrometriche
- Sezioni dell'alveo di Fosso Grande
- Piano Regionale Paesistico (P.R.P)
- Piano Territoriale Provinciale (P.T.P)
- Carta Piano Difesa Alluvioni (PSDA)
- Carta "Piano d'Assetto Idrogeologico" (P.A.I.)
- Carta Microzonazione Sismica del Comune di PESCARA
- Risultati delle prove penetrometriche dinamiche
- Risultati delle prova penetrometrica statica
- Risultati del sondaggio
- Rilievo del Fosso Grande
- Calcolo della portata massima del Fosso Grande

#### INDAGINI PENETROMETRICHE ESEGUITE NELL'AREA IN ESAME

Nel sito in esame sono state eseguite una <u>prova penetrometrica statica ( CPT )</u> a mezzo del penetrometro super pesante GEO DEEP DRILL e <u>n° 3 prove penetrometriche</u> <u>dinamiche ( P )</u> a mezzo del penetrometro medio "DL 030" SUNDA, le cui ubicazioni sono indicate nella planimetria allegata.

- > CPT1: spinta fino alla profondità 18,00 mt dal piano campagna attuale.
- ▶ P1 : spinta fino alla profondità 9,00 mt dal piano campagna attuale.
- ▶ P2 : spinta fino alla profondità 9,00 mt dal piano campagna attuale.
- ▶ P3 : spinta fino alla profondità 8,80 mt dal piano campagna attuale

#### RISULTATI PROVA PENETROMETRICA STATICA CPT1

La prova penetrometrica statica **CPT** consiste nell'infissione a pressione nel terreno ogni 20 cm di una punta d'acciaio chiusa di forma conica ed ha lo scopo di misurare la forza necessaria alla penetrazione della punta (qc), la forza di attrito laterale (fs) tra il terreno ed un manicotto al di sopra della punta.

I risultati ottenuti vengono diagrammati in funzione della profondità raggiunta. (vedi allegato).

Trascurando la coltre superficiale vegetale di spessore intorno - 1,00 mt dal piano campagna arttuale costituito da limi debolmente sabbiosi alterati da pratiche agricole, riferibili all'**ORIZZONTE LITOLOGICO** "A".

Immediatamente sottostante fino a profondità intorno – 5,00 mt, i valori di **qc** (forza necessaria alla penetrazione della punta) ed **fs** (la forza di attrito laterale) determinati sono risultati **bassi** in corrispondenza dei termini litologici costituiti prevalentemente da limi argillosi sabbiosi di colore avana appartenenti ai deposti alluvionali terrazzati di 3° ordine riferibili all'**ORIZZONTE LITOLOGICO** "B". Questi termini litologici presentano una consistenza plastica-solida.

Oltre le suddette profondità fino a profondità raggiunta – 17,50 mt, i valori di qc (forza necessaria alla penetrazione della punta) ed fs (la forza di attrito laterale) determinati sono risultati **molto bassi** in corrispondenza dei termini litologici costituiti da limi argillosi e argille fluviali grigie-azzurrognole talora sfumature avana con presenza di nuclei e resti 3° appartenenti ai alluvionali terrazzati di ordine riferibili torbosi deposti all'ORIZZONTE LITOLOGICO "C". Questi termini litologici risultano molto plastici e compressibili.

Si fa rilevare che in questi ultimi suddetti terreni si è riscontrata presenza di lenti interdigitali ghiaiose da poco addensate a moderatamente di spessore esiguo, intercettati alla profondità intorno 15/16 dal p.c.

#### RISULTATI PROVE PENETROMETRICHE DINAMICHE P1 – P2 – P3

La prova penetrometrica dinamica viene eseguita contando il numero di colpi necessari per infiggere di 10 cm il complesso aste-punta nel terreno. I risultati ottenuti vengono diagrammati in funzione della profondità raggiunta.

La penetrazione dinamica nel terreno consente di individuare più dettagliatamente le caratteristiche di resistenza dei terreni attraversati

Il parametro caratteristico dello stato di consistenza dei terreni attraversati è la **resistenza di rottura dinamica alla punta (RD),** che risulta essere funzione della profondità e del numero di colpi per ogni 10 cm di infissione del complesso aste-punta nel terreno.

Il valore di RD si ricava direttamente dalla seguente formula degli OLANDESI

$$\mathbf{RD} = )( \cdot \frac{\mathbf{M}^2 \cdot \mathbf{h}}{\mathbf{A} \cdot \mathbf{e} \cdot (\mathbf{M} + \mathbf{P})}$$

**RD** = resistenza di rottura dinamica alla punta

)( = coefficiente adimensionale funzione della profondità

M = peso del maglio (30 Kg)

**h** = altezza di caduta del maglio (20 cm)

A =sezione della punta conica (10 cmq)

**e** = 10/N, con N corrispondente al numero di colpi per ogni 10 cm di approfondimento del complesso aste-punta nel terreno

 $\mathbf{P}$  = peso delle aste penetrometriche (2,4 Kg/ml)

I valori del numero di colpi per ogni 10 cm di approfondimento del complesso aste - punta nel terreno vanno tra loro mediati in fasce omogenee; questa interpolazione permette di individuare più correttamente il valore reale di **N** e quindi di **RD**.

I valori di **RD** determinati sono risultati **bassi** fino a profondità - 1,00 mt dal piano campagna attuale in corrispondenza del terreno vegetale costituito da limi debolmente sabbiosi, riferibili all'**ORIZZONTE LITOLOGICO** "A". Questi termini litologici risultano alterati da pratiche agricole.

Immediatamente sottostante fino alla profondità - 5,00 mt dal p.c., i valori di RD determinati sono risultati bassi in corrispondenza dei termini litologici costituiti prevalentemente da limi sabbiosi argillosi di colore avana appartenenti all'ORIZZONTE LITOLOGICO "B". Questi termini litologici presentano una consistenza plastica-solida

Oltre la suddetta profondità fino a profondità - 9,00 mt dal p. c. attuale, i valori di **RD** sono risultati **molto bassi** in corrispondenza dei termini litologici costituiti da limi argillosi e argille fluviali grigie - azzurrognole talora sfumature avana con presenza di nuclei e resti torbosi talora lenti interdigitali sabbiosi limosi di spessore molto esiguo appartenenti ai deposti alluvionali terrazzati di 3° ordine riferibili all'**ORIZZONTE LITOLOGICO "C"**. Questi termini litologici risultano molto plastici e compressibili.

Si fa rilevare che in questi ultimi suddetti terreni si è riscontrata presenza di lenti interdigitali ghiaiose da poco addensate a moderatamente di spessore esiguo, intercettati alla profondità intorno 15/16 dal p.c.

#### INQUADRAMENTO GEOMORFOLOGICO DELL'AREA IN ESAME

L'area oggetto di studio, interessata alla realizzazione del fabbricato e campi sportivi in progetto, ricade su un terrazzo alluvionale di fondo valle situato sulla sinistra del fiume Pescara

Il sito in esame è ubicato sul lato destro della strada comunale Via Pizzo Intermosoli del Comune di PESCARA ed è, più precisamente inquadrato al Foglio n° 19 Particella n° 2950 del Catasto dei terreni del Comune di PESCARA.

Dal sopralluogo eseguito in sito, è stato verificato che l'area in esame è caratterizzata da una morfologia subpianeggiante, tipica delle aree alluvionali di fondo valle.

Nella zona periferica rivolta ad ovest dell'area in esame, precisamente a confine con i terreni del Comune di Spoltore, si segnala un corso d'acqua rapprentato dal Fosso Grande.

Pertanto l'idrografia superficiale della zona è rappresentato dal Fosso Grande caratterizzato da bassa energia di erosione lineare con approfondimento intorno - 3,30 mt. dal piano campagna attuale riferito all'area pianeggiante in esame.(Vedi allegati Corografia)

Le sponde laterali del fosso presentano un'inclinazione intorno a 30°

Le acque del fosso, provenienti dalle culminazioni collinari situati a monte dell'area in esame, confluiscono nel Fiume PESCARA.

Tale profilo topografico è stato ricavato mediante misure dirette in sito a mezzo di strumento topografico eseguito dal Geom. Marco POZZI e confermato sia dalla documentazione fotografica allegata sia dalle interpretazioni delle carte topografiche allegate a diverse scale.

E' stato eseguito un attento rilevamento geologico/geomorfologico che non ha evidenziato situazioni di instabilità né passate, né in atto e né potenziali.

Al fine di valutare la stabilità dell'area si è proceduto ad ulteriore verifica attraverso :

- a) "Piano d'Assetto Idrogeologico" P.A.I. (redatto dalla Regione Abruzzo), il quale classifica il sito in esame "Area non interessata da dissesti" rappresentata con il colore bianco. (Vedi allegato)
- **b) Piano Stralcio Difesa Alluvioni P.S.D.A.** (redatto dalla Regione Abruzzo), il quale classifica il sito in esame "Area non interessata da esondazione" rappresentata con il colore bianco. (Vedi allegato)

#### MODELLO GEOLOGICO - GEOTECNICO DELL'AREA IN ESAME

#### > CARATTERI GEOLOGICI :

La Carta Geologica e la documentazione geolitologica della zona hanno permesso una prima stima circa la formazione sedimentaria presenti nel sottosuolo della zona in esame.

Si tratta sedimenti alluvionali terrazzati di 3° ordine del Pleistocene - Olocene , depositati durante i vari regimi idraulici del Fiume PESCARA, con una netta prevalenza di depositi finissimi quali limi , argille , sabbie talora materiale torboso variamente mescolati tra loro.

Il rilevamento geologico di campagna, il sondaggio a carotaggio continuo con sonda idraulica e le prove penetrometriche eseguiti in sito hanno permesso di evidenziare le caratteristiche litologiche, lo spessore e lo stato di consistenza dei terreni presenti nel sito. Pertanto sono stati distinti i seguenti "*Orizzonti Litologici*":

- ➤ ORIZZONTE LITOLOGICO "A": dal piano campagna attuale fino a profondità intorno -1,00 mt, terreno vegetale costituito da limi debolmente sabbiosi alterati da pratiche agricole.
- ➤ ORIZZONTE LITOLOGICO "B": a partire circa 1,00 mt dal p.c. fino a profondità intorno 5,00 mt dal p.c., costituito da limi sabbiosi argillosi e limi argillosi di colore avana di consistenza plastica solida
- ➤ ORIZZONTE LITOLOGICO "C": a partire 5,00 mt dal p.c. fino alla profondità raggiunta 18 mt, costituito da limi argillosi e argille fluviali grigie-azzurrognole talora sfumature avana con presenza di nuclei torbosi talora lenti interdigitali sabbiosi limosi di spessore molto esiguo appartenenti ai deposti alluvionali terrazzati della zona Questi termini litologici risultano molto plastici e compressibili.

Si fa rilevare che all'interno di questi terreni, alla profondità intorno 15/16 mt dal p.c., si è riscontrata presenza di lenti interdigitali ghiaiose di spessore esiguo

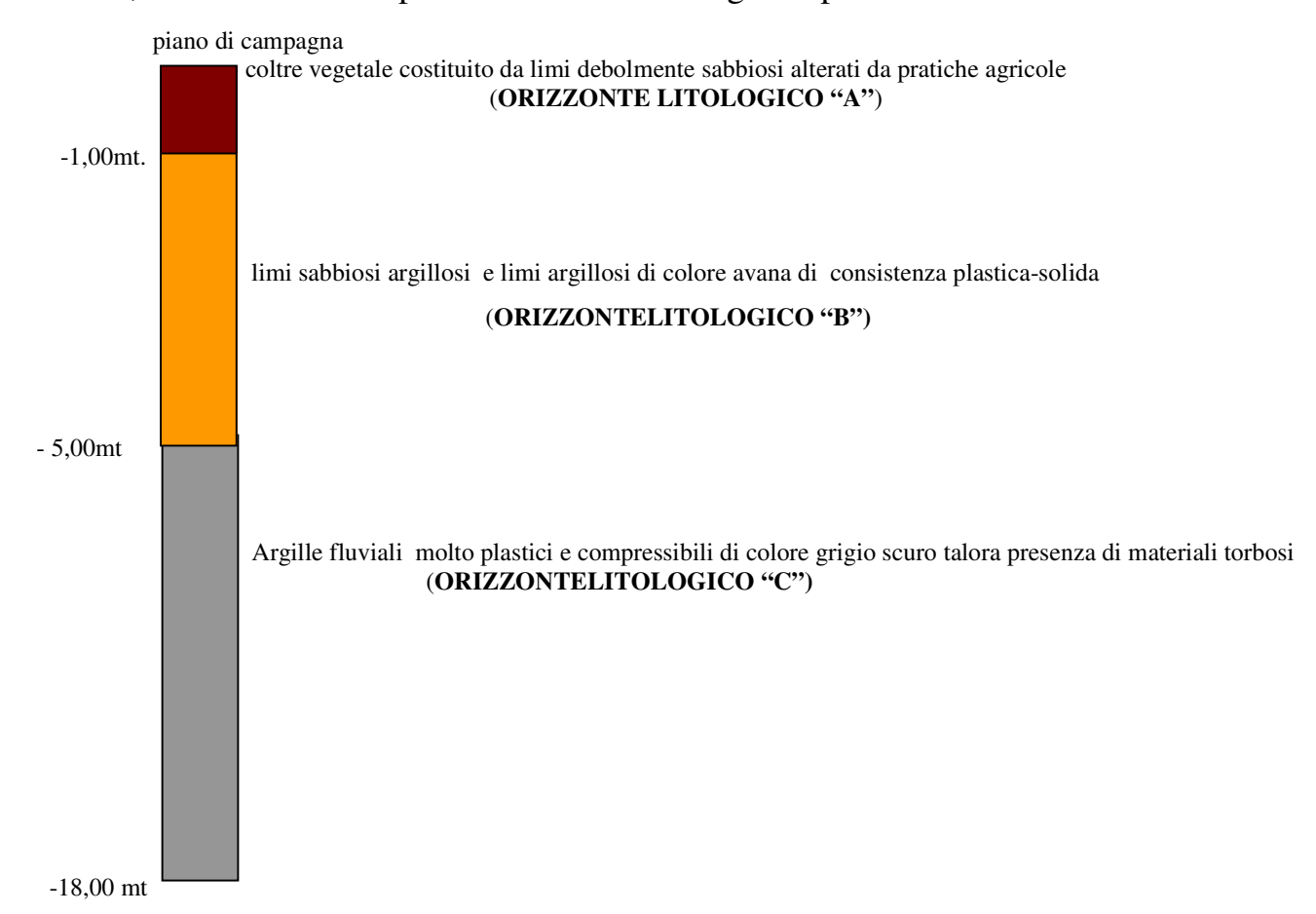
Le prove penetrometriche dinamiche e statiche ed il sondaggio con sonda idraulica, eseguito con tecnica a carotaggio continuo, sono stati diretti e seguiti dal **Dott. Geol.** Sandro POZZI.

I reperti di carotaggio del sondaggio, descritti nei tabulati di campagna, sono stati alloggiati in cassette catalogatrici; ogni cassetta è stata fotografata al fine di ottenere la sequenza stratigrafica documentata e se ne dà conto negli allegati di seguito illustrati.

I risultati delle prove penetrometriche dinamiche e statiche sono riportati negli allegati

Per semplicità di consultazione si riporta il profilo litostratigrafico schematico del sito in esame, evidenziando lo spessore e le caratteristiche litologiche dei rispettivi Orizzonti Litologici sopradescritti

Per semplicità di consultazione si riporta il profilo litostratigrafico schematico dell'area in esame, evidenziando i rispettivi Orizzonti Litologici sopradescritti



#### > CARATTERI IDROGEOLOGICI DELL'AREA IN ESAME

Dal punto di vista idrogeologico, le prove penetrometriche ed il sondaggio eseguiti in sito hanno permesso di evidenziare nei terreni attraversati presenza di una falda acquifera il cui livello piezometrico superficiale si trova a profondità intorno – -3,00 mt dal p.c.

L'idrografia superficiale sul sito in esame è rappresentato da **Fosso Grande**, la cui base dell'alveo si trova quota topografica intorno -3,30 dal piano campagna dell'area in esame.

Il **Fosso Grande** è presente ai bordi del confine del sito, precisamente sul lato Ovest, per tutta la sua lunghezza (vedi Corografia)

#### CARATTERI GEOTECNICI DEI TERRENI INDAGATI NEL SITO IN ESAME

Sulla base dei risultati ottenuti dalle prove penetrometriche e del sondaggio **S1**, ed ai risultati ricavati da prove di laboratorio su campioni appartenenti a successioni litologiche simili a quelle evidenziate nel sottosuolo in esame, trascurando il terreno vegetale di spessore intorno 1,00 mt, sono stati determinati i valori dei parametri geotecnici dei termini litologici appartenenti ai seguenti "**Orizzonti Litologici**":

➤ ORIZZONTE LITOLOGICO "B": a partire circa -1,00 mt dal p.c. fino a profondità intorno - 5,00 mt, costituito prevalentemente da limi sabbiosi argillosi di colore avana di consistenza plastica-solida.

I valori dei parametri geotecnica sono i seguenti:

 $\gamma$  (peso di volume del terreno) = 1,9 t/mc

 $\varphi$  (angolo di resistenza al taglio) = 23° - 24

c'( coesione drenata) = 0,02 -0,03 Kg/cmq

Cu (coesione non renata) = 0.5 - 0.7 Kg/cmq

M (modulo edometrico) = 40 - 50 Kg/cmq

➤ ORIZZONTE LITOLOGICO "C": a partire circa - 5,00 mtdal p.c. fino alla profondità intorno - 18,00 mt costituito da limi argillosi e argille fluviali grigie-azzurrognole talora sfumature avana con presenza di nuclei torbosi talora lenti interdigitali sabbiosi limosi di spessore molto esiguo

I valori dei parametri geotecnica sono i seguenti:

 $\gamma$  (peso di volume del terreno) = 1,8 t/mc

 $\varphi$  (angolo di resistenza al taglio) = 22° - 23°

c' (coesione drenata) = 0.00 - 0.01 Kg/cmq

 $C_u$  (coesione non drenata) = 0,2 - 0,3 Kg/cmq

M (modulo edometrico) = 20 - 30 Kg/cmq

#### VALORI CARATTERISTICI

Sulla scorta della caratterizzazione fisica e meccanica dei terreni investigati sopracitati, si determinano i **Valori Caratteristici** dei parametri geotecnici per i suddetti rispettivi **Orizzonti Litologici** utili ai <u>fini progettuali</u>, più precisamente per:

• ORIZZONTE LITOLOGICO "B" : I valori caratteristici dei parametri geotecnici sono i seguenti :

 $\gamma$  (peso di volume del terreno) = 1,8 t/mc

 $\phi$ k (angolo di resistenza al taglio) = 24°

c'k( coesione drenata) = 0,02 Kg/cmq

Cuk (coesione non drenata) = 0,5 Kg/cmq

M (modulo edometrico) = 40 Kg/cmq

• ORIZZONTE LITOLOGICO "C" : I valori caratteristici dei parametri geotecnici sono i seguenti :

 $\gamma$  (peso di volume del terreno) = 1,7 t/mc

φk (angolo di resistenza al taglio) = 22°

c'k( coesione drenata) = 0,00 Kg/cmq

Cuk (coesione non drenata) = 0,3 Kg/cmq

M (modulo edometrico) = 20 Kg/cmq

#### STUDIO IDRAULICO DELL' AREA IN ESAME A RISCHIO DI ESONDAZIONE

Sulla base dei documenti dell'Ufficio Idrografico e Mareografico di Pescara, si è riscontrata che la portata massima prevedibile dal Fosso Grande in agro del Comune di PESCARA, in località Via Pizzo Intermesoli, più precisamente nella sezione indicata nella corografia allegata è stata stimata in :

Qmax = 80 mc/sec per un tempo di ritorno pari a 100 anni

Si precisa che per il corso d'acqua in esame la suddetta valutazione è stata effettuata sulla base delle caratteristiche morfologiche del bacino e utilizzando i dati pluviometrici delle stazioni prossimi all'area in esame.

#### **IDRAULICA**

Sulla base della sezione trasversale interessata (vedi allegato) in cui sono riportati i dati topografici del Fosso Grande e dei terreni adiacenti interessati alle eventuali esondazioni è stato redatto una stima per verificare la portata max mediante la formula di CHEZY.

Portata Qlim = 80 m<sup>3</sup>/sec

Formula di Chèry Q = V\*A

$$V = c * \sqrt{R * i}$$

dove: R = raggio idraulico = perimetro bagnato

i = pendenza dell'alveo

A = area sezione

formula di Manning  $\Rightarrow$   $c = \frac{1}{n} R^{1/6}$ 

dove : n = coefficiente di scabrosità che vale 0,025 per corsi d'acqua naturali, terra con erbe sul fondo

Α

Quindi nel nostro caso:

perimetro = 14,72 mt.

 $A = 23,95 \text{ m}^2$ 

R = 
$$\frac{23,95}{14,72}$$
 = 1,627 mt.  
i = 0,6%  
c =  $\frac{1}{0,025}$   $1,627$  = 43,38  
per cui  
V =43,38  $\sqrt[*]{1,627^* 0,6}/100$  = 4,29 m/sec

1,021 0,07100 = 1,2011

la portata della sezione è:

 $Q = 4,29*23,95 = 102,74 \text{ m}^3/\text{sec} > Q \lim = 80 \text{ m}^3/\text{sec}$ 

Alla luce dei risultati ottenuti si evince che, per la portata massima prevedibile del fosso Grande e per la sezione considerata, l'area in esame non è a rischio di esondazione.

#### LIQUEFAZIONE DEI TERRENI

La liquefazione dei terreni riguarda solo ed esclusivamente banchi di sabbia pulita satura; nel nostro caso il sottosuolo del sito in esame è costituito prevalentemente da: argille e limi argillosi fluviali poco consistenti di colore avana-grigiastro, pertano non interessati da liquefazione.

Questi terreni potrebbero essere soggetti soltanto ad eventuali cedimenti in relazione ai carichi di progetto che saranno determinati dal Tecnico Progettista in sede di verifica delle opere fondali.

#### 7.11. 3.4.2 Esclusione alla verifica di liquefazione dei terreni indagati

La verifica a liquefazione viene omessa poiché i terreni argillosi e limi argillosi indagati nel sito in esame presentano una distribuzione granulometrica esterna alle zone indicate nella figura 7.11,1(a) e figura 7.11.(b)

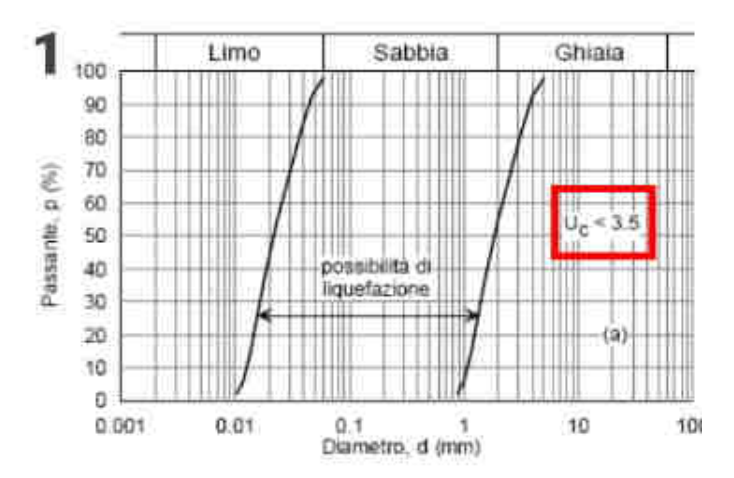


Fig. 7.11,1(a)

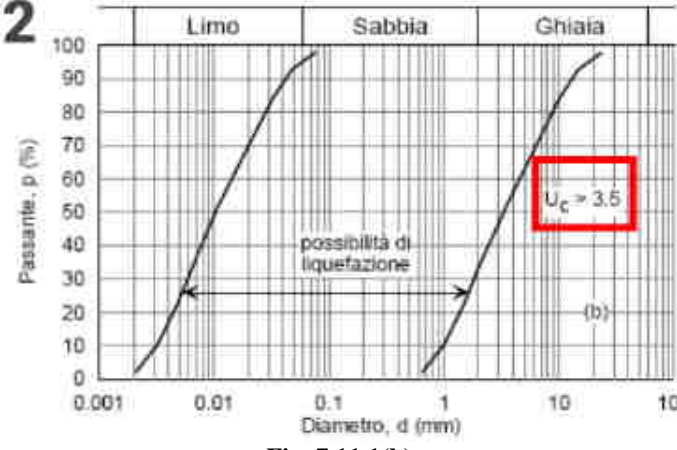


Fig. 7.11,1(b)

#### Per le verifiche SLU delle fondazioni superficiali (NTC 2018):

I valori di progetto dei parametri geotecnici si ricavano a partire dai valori caratteristici dei rispettivi **Orizzonti Litologici** sopracitati ai quali va applicato un fattore riduttivo  $y_m$  (coefficiente parziale),tabellato nelle NTC più precisamente :

#### COEFFICIENTI PARZIALI PER I PARAMETRI GEOTECNICI DEL TERRENO

PARAMETRO	GRANDEZZA ALLA QUALE APPLICARE IL COEFFICIENTE PARZIALE	COEFFICIENTE PARZIALE YM	M1	M2
Tangente dell'angolo di resistenza al taglio	tan φ' <sub>k</sub>	<b>γ</b> φ'	1,0	1,25
Coesione efficace	<b>C'</b> k	<b>Y</b> c'	1,0	1,25
Resistenza non drenata	CUk	Ycu	1,0	1,4
Peso dell'unità di volume	γ	<b>Υ</b> γ	1,0	1,0

VERIFICA	R1(γR)	R2(γR)	R3(γR)
Capacità portante	1,0	1,8	2,3
Scorrimento	1,0	1,1	1,1

#### **AZIONE SISMICA**

Le NTC hanno introdotto un sisma di progetto non per ogni comune (NTCO5), ma per ogni punto del territorio (punti di ancoraggio nodali di un reticolo di 4 Km. di lato).

Ai fini della definizione della azione sismica di progetto, si rende necessario valutare l'effetto della **Risposta Sismica Locale** basata sull'individuazione:

- 1. Coordinate geografiche del sito: ricavabili su google map o sul sito www. acca.it
- 2. <u>vita nominale (V<sub>N</sub>)</u>: è la durata di una costruzione in sede progettuale

N.	TIPO COSTRUZIONE	VITA NOMINALE VN - ANNI
1	Opere provvisorie	≤ 10
1 7	Opere ordinarie, opere infrastrutturali di dimensioni contenute o di importanza normale	≥ 50
3	Grandi opere, opere infrastrutturali di grandi dimensioni o importanza strategica	≥ 100

**3.** <u>classe d'uso</u>: la classe d'uso ed il coefficiente d'uso sono legati alle conseguenze di collasso e di operatività dell'opera

CLASSE D'USO	I	II	III	IV
Coeff. D'uso Cu	0,7	1,0	1,5	2,0

**4.** Periodo di riferimento sismico (VR): ottenuto dal prodotto della vita nominale per il coefficiente d'uso.

 $V_R = V_N \times C_U$ 

VITA NOMINALE	VALORI DI VR			
	CLASSE D'USO			
VN	I	II	III	IV
≤ 10	35	35	35	35
≥ 50	≥ 35	≥ 50	≥ 75	≥ 100
≥ 100	≥ 70	≥ 100	≥ 150	≥ 200

#### 5. TOPOGRAFIA:

#### 1. CATEGORIE TOPOGRAFICHE

CATEGORIA	CARATTERISTICA DELLA SUPERFICIE TOPOGRAFICA
T1	Superficie pianeggiante, pendie erilievi isolati con inclinazione media di i ≤ 15°
T2	Pendii con inclinazione media i > 15°
Т3	Rilievi con larghezza in cresta molto minore che alla base e inclinazione media 15°≤ i ≤30°
T4	Rilievi con larghezza in cresta molto minore che alla base e inclinazione media i >30°

#### a) VALORI MASSIMI DEL COEFFICIENTE DI AMPLIFICAZIONE TOPOGRAFICA ST

CATEGORIA TOPOGRAFICA	UBICAZIONE DELL'OPERA E DELL'INTERVENTO	ST
T1	Pianeggiante	1,0
T2	In corrispondenza della sommità del pendio	1,2
Т3	In corrispondenza della cresta del rilievo	1,2
T4	In corrispondenza della cresta del rilievo	1,4

### **VALUTAZIONI SISMICHE** (ai sensi del D. M. del 17/01/2018)

Ai fini della definizione dell'azione sismica di progetto si definiscono le seguenti categorie di profilo stratigrafico del suolo di fondazione ( le profondità si riferiscono al piano di posa della fondazione):

Categorie	Caratteristiche della superficie topografica
A	Ammassi rocciosi affioranti o terreni molto rigidi caratterizzati da valori di velocità delle onde di taglio superiori a 800 m/s, eventualmente comprendenti in superficie terreni di caratteristiche meccaniche più scadenti con spessore massimo pari a 3 m
В	Rocce tenere e depositi di terreni a grana grossa molto addensati o terreni a grana fine molto consistenti, caratterizzati da un miglioramento delle proprietà meccaniche con la profondità e da valori di velocità equivalente compresi tra 360 m/s e 800 m/s
C	Depositi di terreni a grana grossa mediamente addensati o terreni a grana fine mediamente consistenti con profondità del substrato superiori a 30 m, caratterizzati da un miglioramento delle proprietà meccaniche con la profondità e da valori di velocità equivalente compresi tra 180 m/s e 360 m/s.

D	Depositi di terreni a grana grossa scarsamente addensati o di terreni a grana fine scarsamente consistenti, con profondità del substrato superiori a 30 m, caratterizzati da un miglioramento delle proprietà meccaniche con la profondità e da valori di velocità equivalente compresi tra 100 e 180 m/s.
E	Terreni con caratteristiche e valori di velocità equivalente riconducibili a quelle definite per le categorie C o D, con profondità del substrato non superiore a 30 m.

### Il sito in esame appartiene alla categoria sottosuolo di tipo "D"

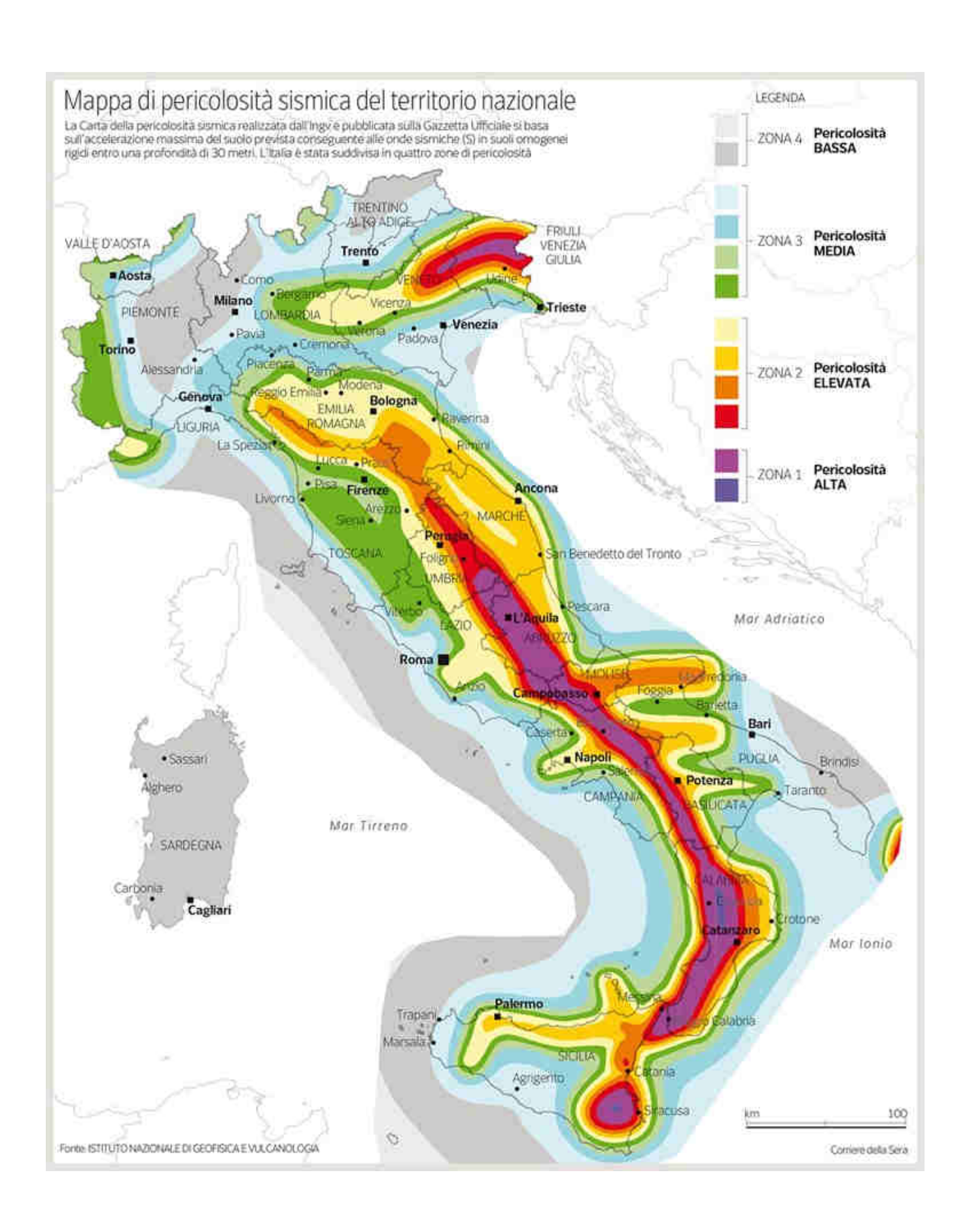
D

Depositi di terreni a grana grossa scarsamente addensati o di terreni a grana fine scarsamente consistenti, con profondità del substrato superiori a 30 m, caratterizzati da un miglioramento delle proprietà meccaniche con la profondità e da valori di velocità equivalente compresi tra 100 e 180 m/s.

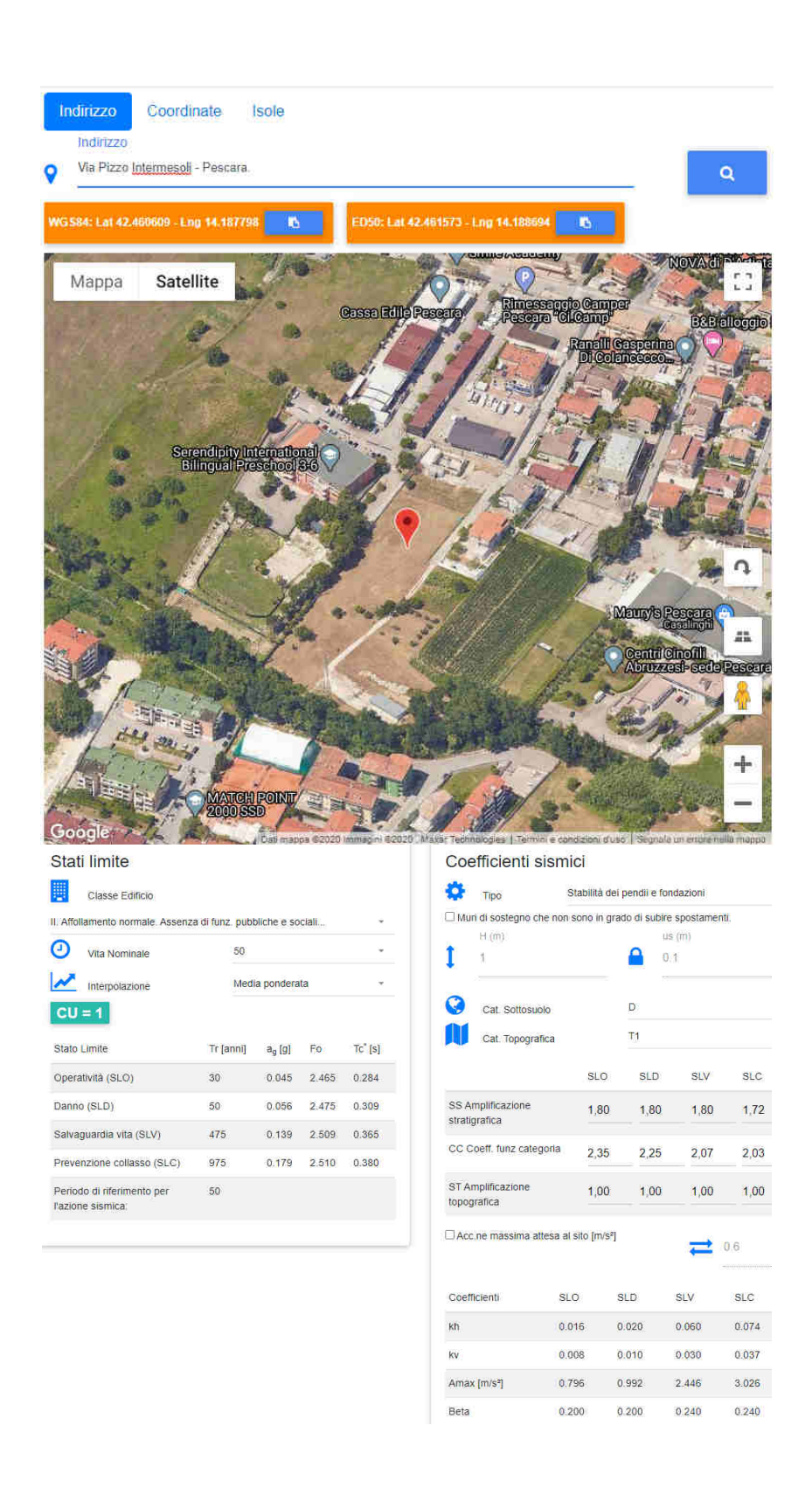
#### **TOPOGRAFIA:**

CATEGORIE TOPOGRAFICHE

CATEGORIA	CARATTERISTICA DELLA SUPERFICIE TOPOGRAFICA
T1	Superficie pianeggiante, pendie erilievi isolati con inclinazione media di i ≤ 15°



#### PARAMETRI SISMICI



#### **CONCLUSIONI**

Nell'ambito del presente elaborato tecnico, realizzato su richiesta del Servizio del Genio Civile Regionale di Pescara, gli studi eseguiti hanno permesso la ricostruzione del quadro geologico della zona, nonché della situazione litostratigrafica locale del sito in esame.

Per la definizione dettagliata del modello litostratigrafico-geomorfologico dei terreni caratterizzanti il sito in esame, si è fatto ricorso alla consultazione delle carte tematiche allegate, al rilevamento morfologico-geologico eseguito in sito, ai risultati del sondaggio e prove penetrometriche dinamiche e statiche eseguiti in sito

#### Tali studi consentono di trarre le seguenti conclusioni:

- Il sito di progetto è posto in area pianeggiante appartenente alla piana alluvionale di fondo valle, nel sito studiato non si segnala presenza di problematiche geomorfologiche legate a dissesti gravitativi o erosivi in atto;
  - Al fine di valutare la stabilità dell'area si è proceduto ad ulteriore verifica attraverso :
  - a) "Piano d'Assetto Idrogeologico" P.A.I. (redatto dalla Regione Abruzzo), il quale classifica il sito in esame "Area non interessata da dissesti" rappresentata con il colore bianco. (Vedi allegato)
  - b) Piano Stralcio Difesa Alluvioni P.S.D.A. (redatto dalla Regione Abruzzo), il quale classifica il sito in esame "Area non interessata da esondazione" rappresentata con il colore bianco. (Vedi allegato)
- ➤ dal punto di vista idrogeologico, il sondaggio (S1) e le prove penetrometriche hanno permesso di evidenziare presenza di falda acquifera nei terreni attraversati, il cui livello piezometrico, misurato, nel foro di sondaggio, a profondità di – 2,80 mt dal piano campagna attuale.

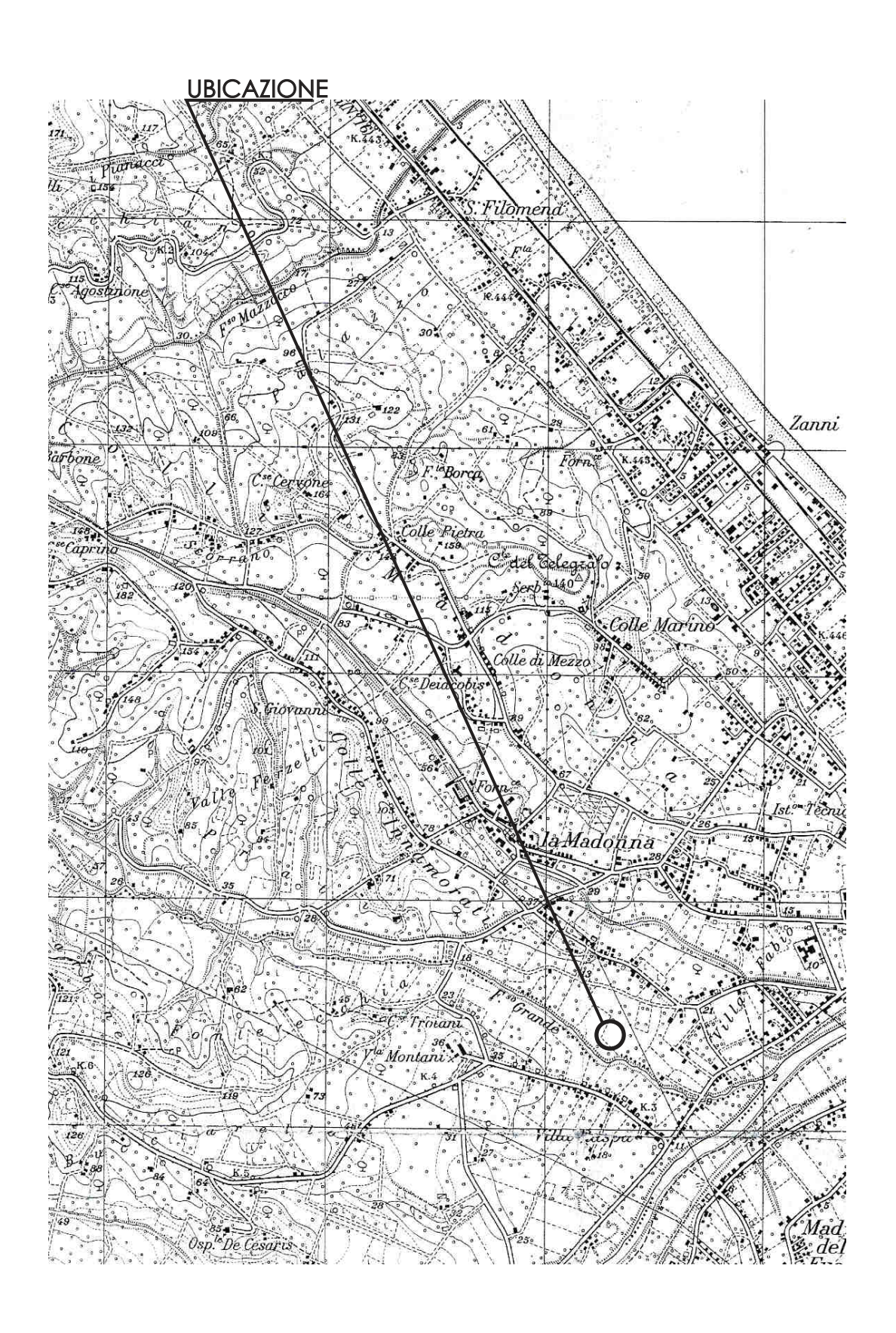
- ➤ Non sussistono rischi legati ad esondazioni del Fosso Grande
- ➤ Si esclude liquefazione dei terreni attraversati
- ➤ Sono stati evidenziati i parametri sismici interessanti il sito edificabile in esame,come stabilito dalle NTC 2008 (vedi allegati)
- > Considerando l'assetto litostratigrafico-geomeccanico del sito in esame, la scelta del tipo di fondazione delle opere in progetto sarà stabilito dal Tecnico Progettista.

Sulla base di quanto sopra esposto, si escludono sostanziali future evoluzioni geomorfologiche e idrauliche che potrebbero ripercuotersi negativamente sulle condizioni generali di stabilità del sito in esame. Pertanto, a parere dello scrivente, le condizioni litologiche - geomorfologiche e idrogeologiche e del sito in esame consentono la fattibilità delle opere in progetto.

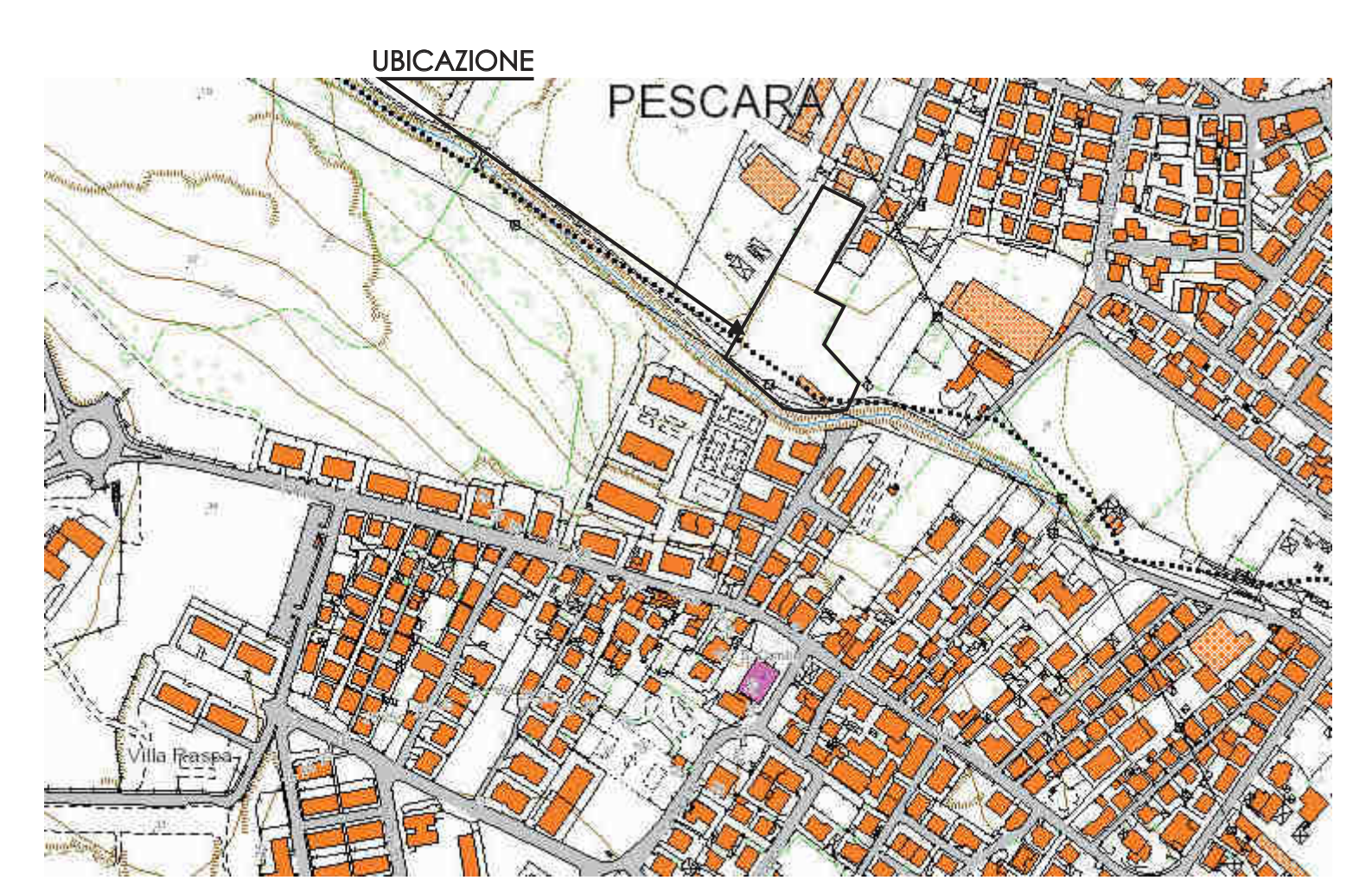
Si resta a disposizione per ogni eventuale chiarimento.

# COROGRAFIA

SCALA 1:25.000

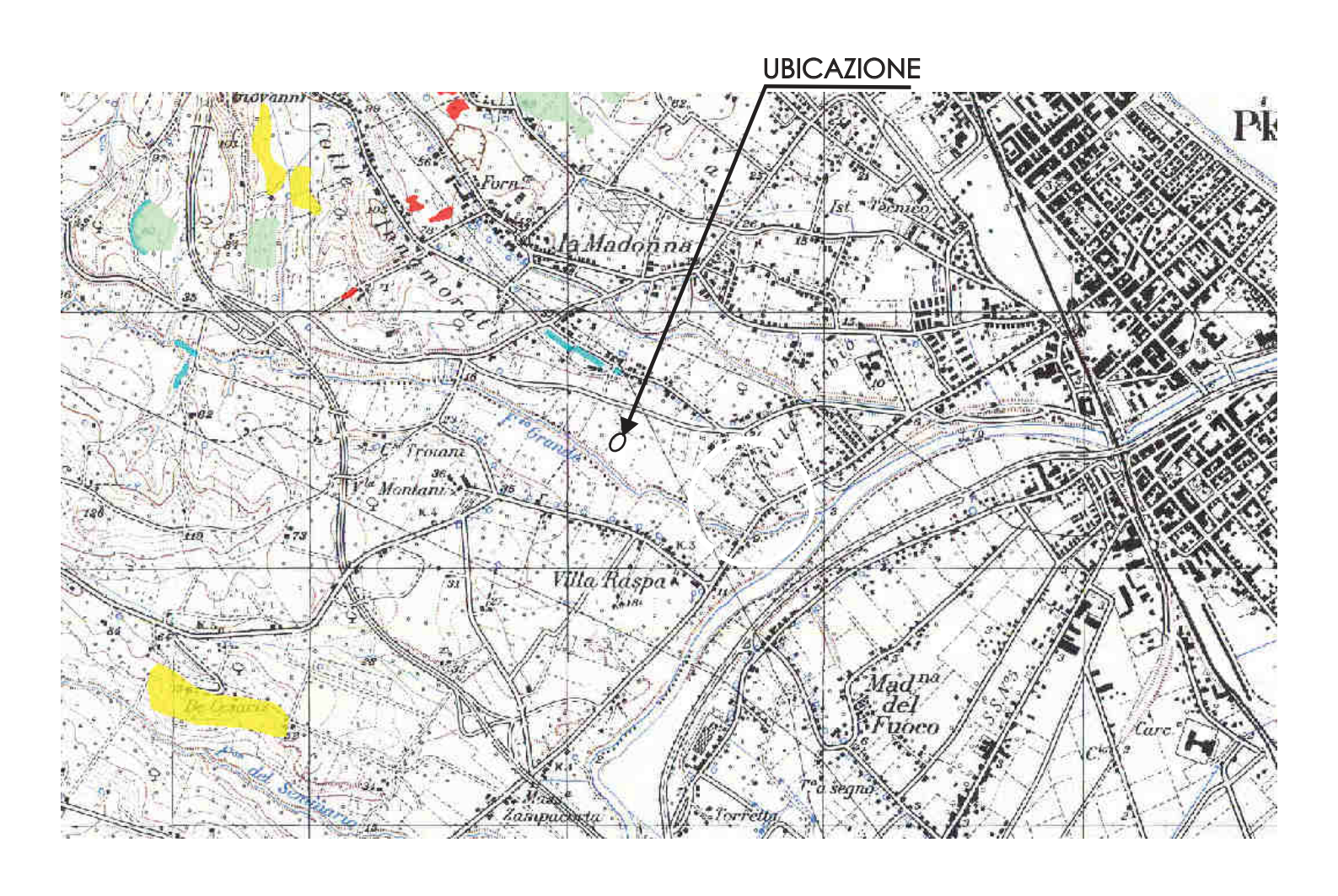


## COROGRAFIA SCALA 1:5.000

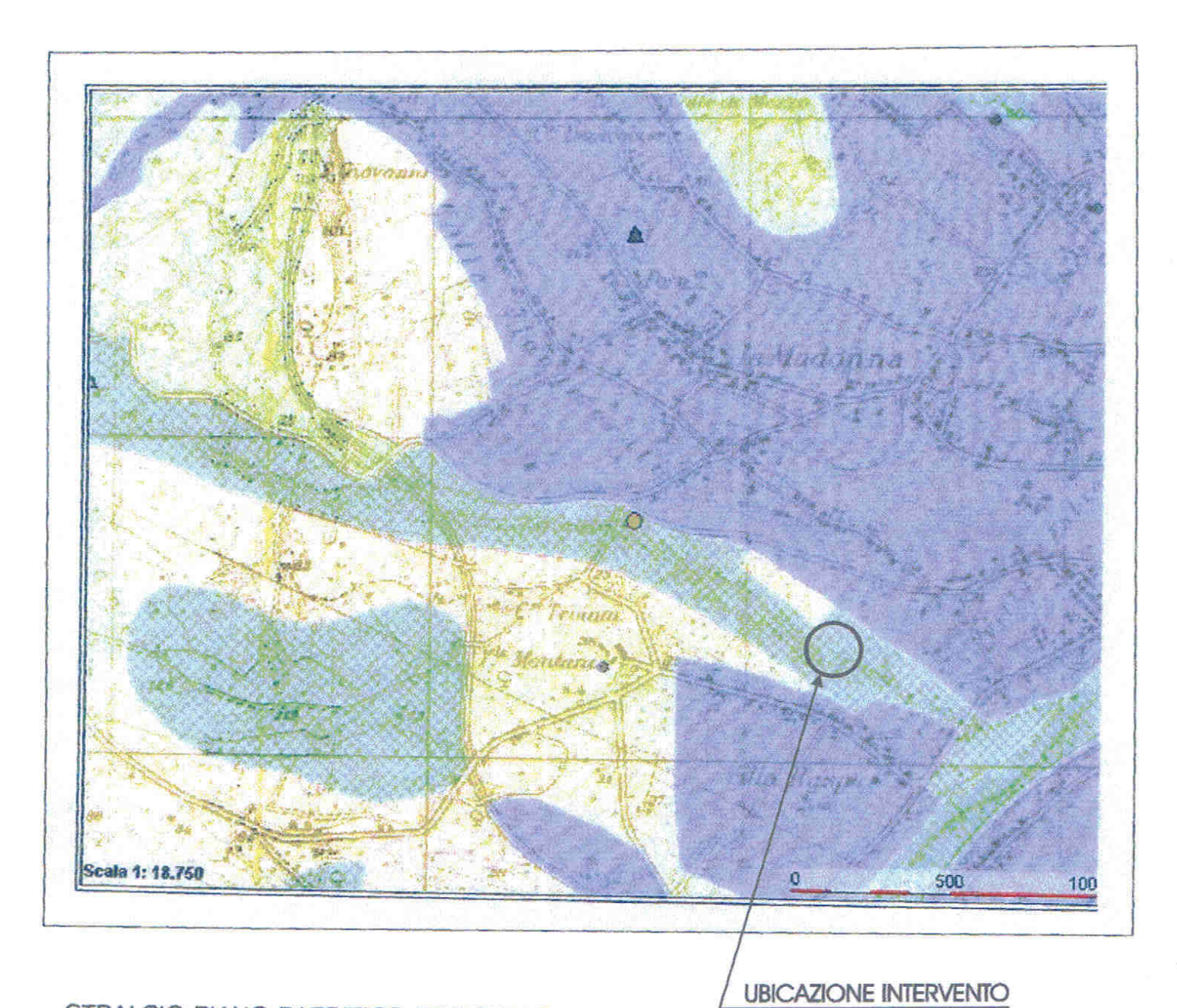


## STRALCIO P.A.I.

SCALA 1:25000

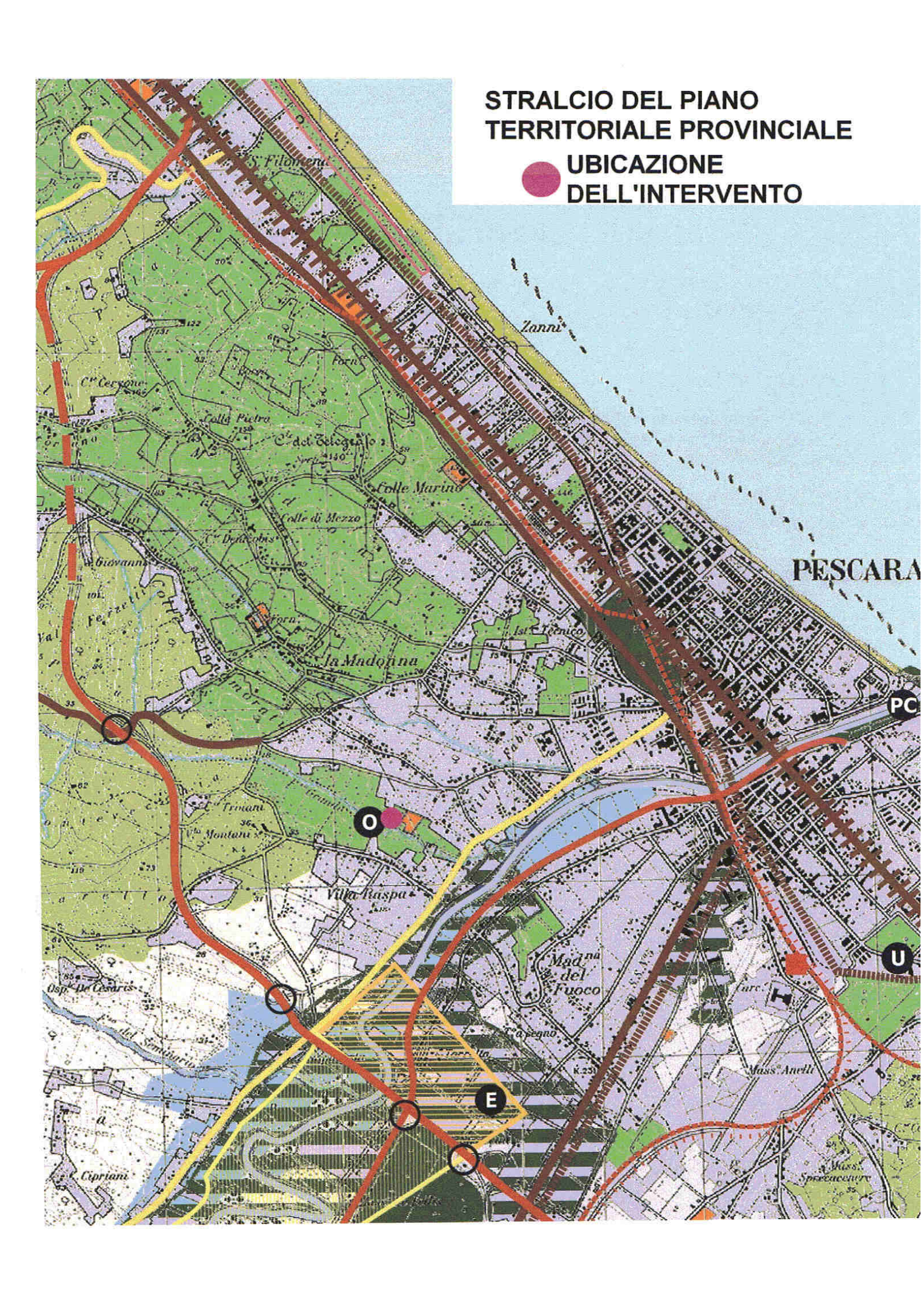






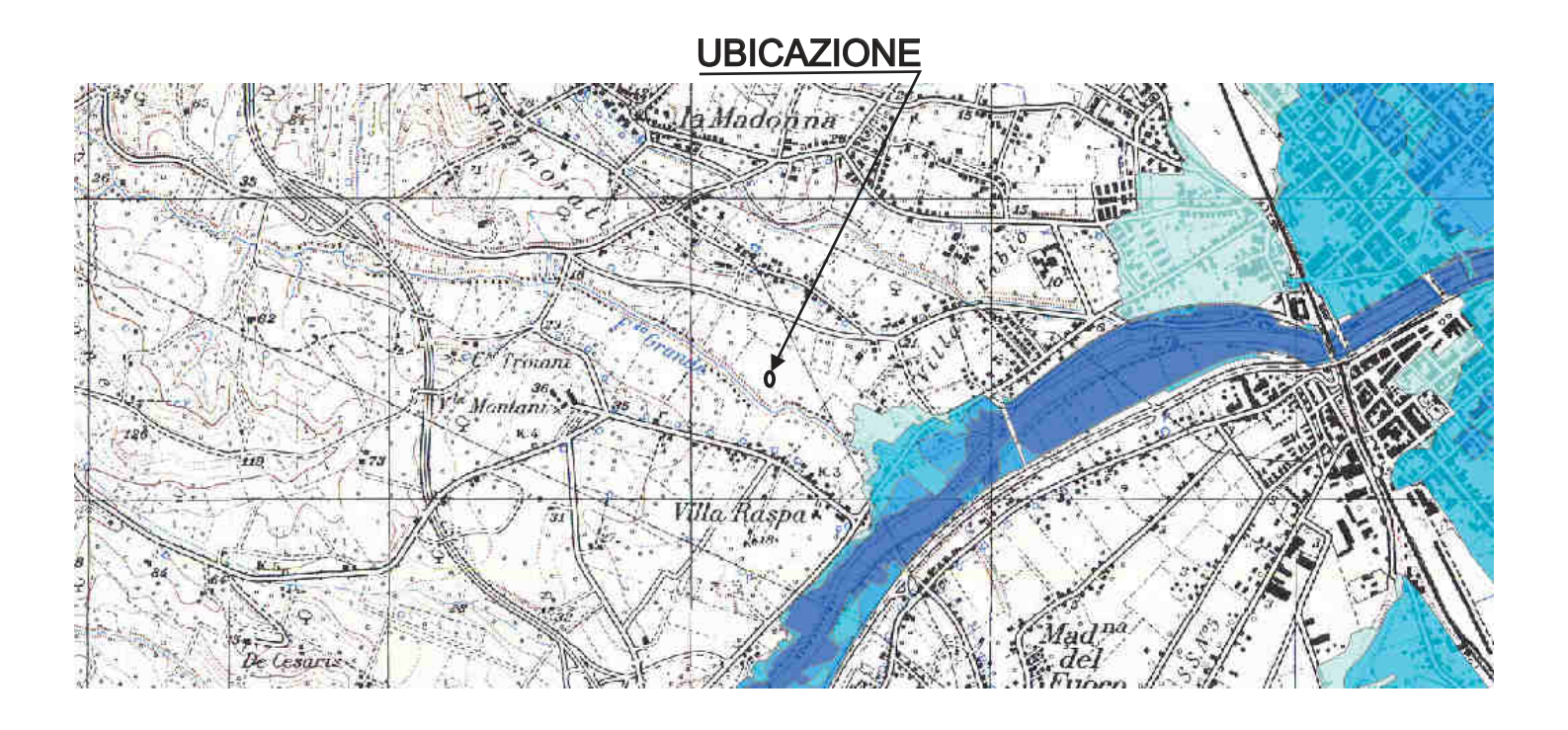
STRALCIO PIANO PAESITICO REGIONALE

8/18/2010 PPRjpg



## PIANO STRALCIO DIFESA ALLUVIONI

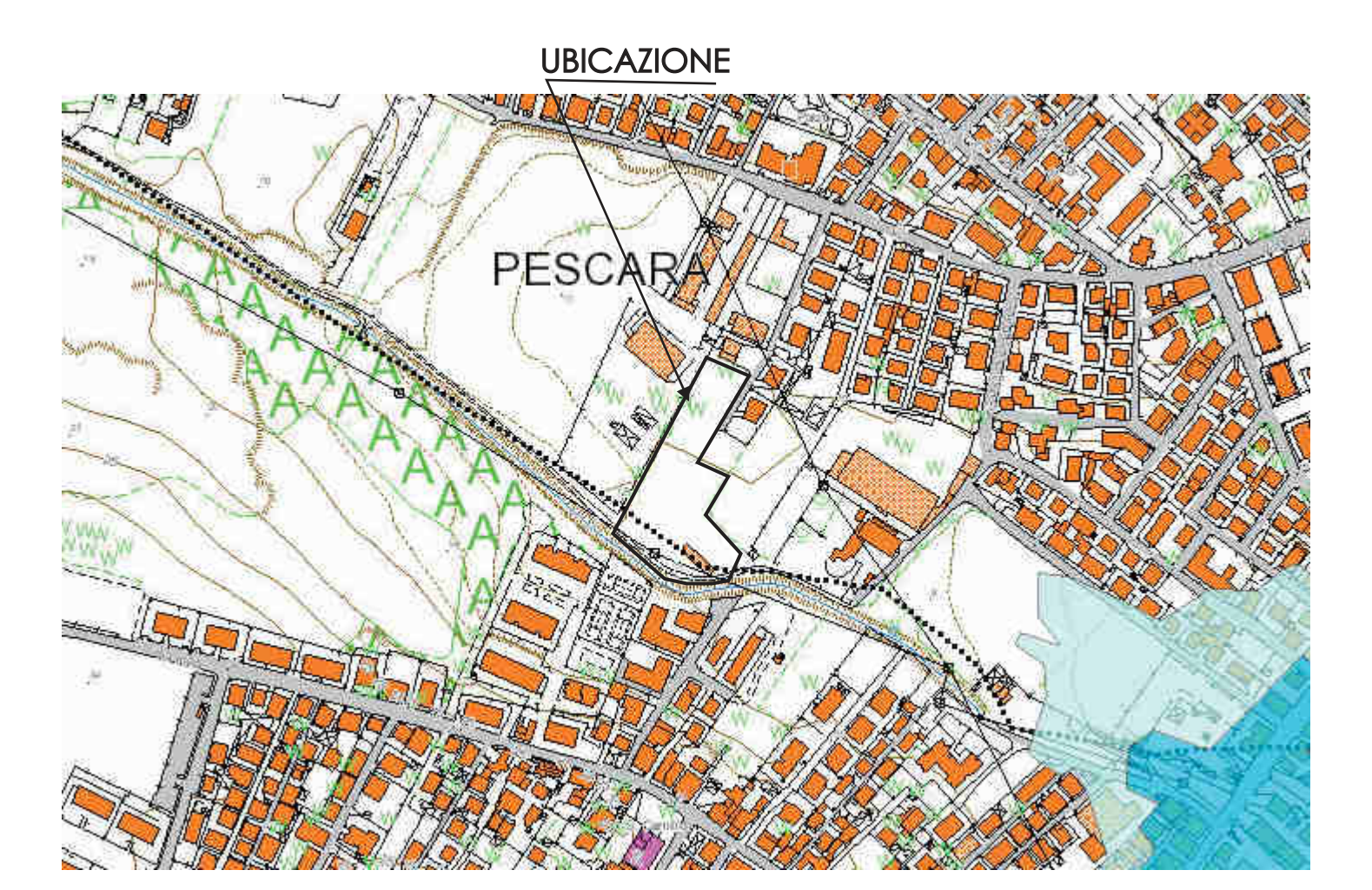
SCALA 1:25.000



LEGENI	DA
Classi di	pericolosità idraulica [Q50 - Q100 - Q200] (*)
	Pericolosità molto elevata h50 > 1m v50 > 1m/s
	Pericolosità elevata 1m > h50 > 0.5 m h100 > 1m v100 > 1m/s
	Pericolosità media h100 > 0m
	Pericolosità moderata h200 > 0m

(\*) Pericolosità idraulica. Per ogni riga il verificarsi di almeno una delle condizioni riportate, in assenza delle condizioni delle righe immediatamente superiori, sancisce l'appartenenza alla classe di pericolosità idraulica

# PIANO STRALCIO DIFESA ALLUVIONI



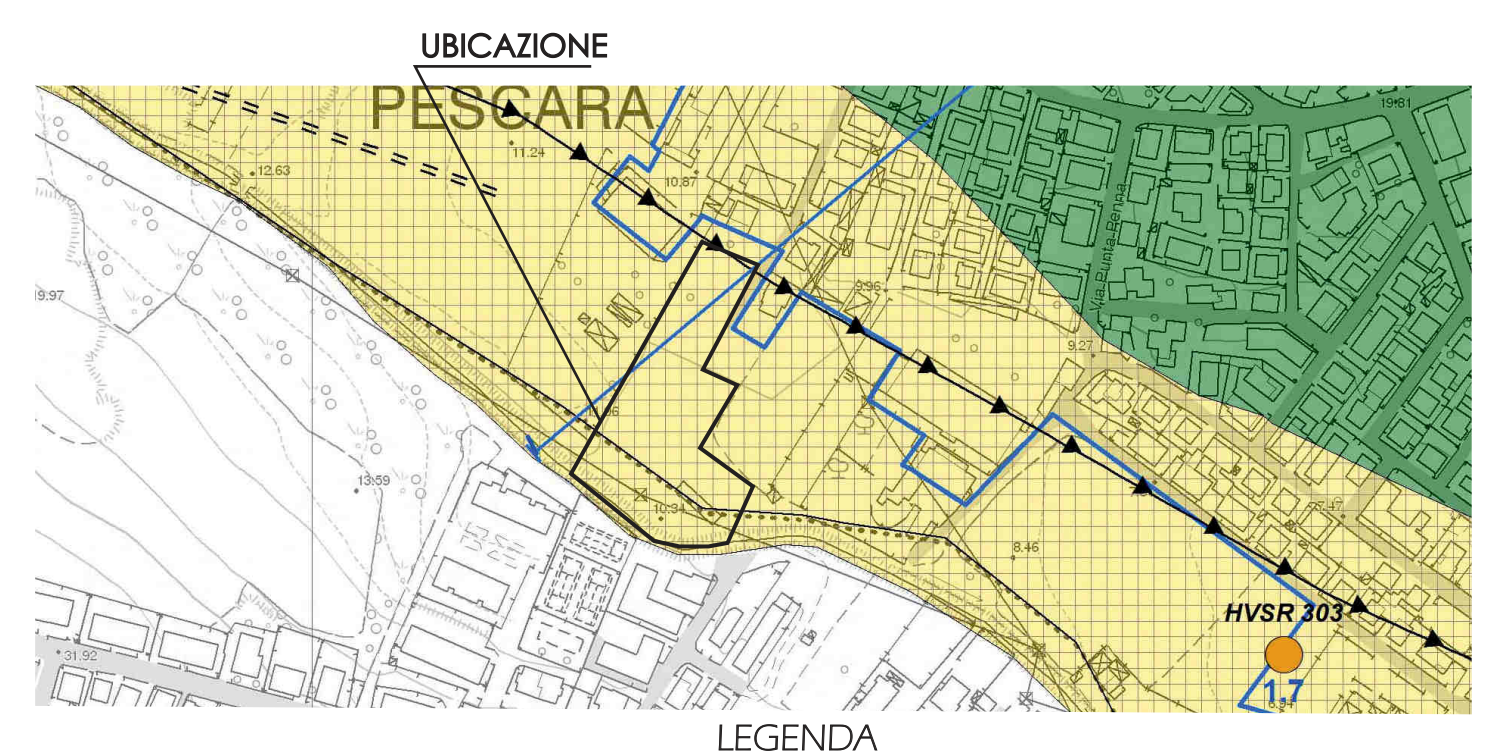
LEGENI	DA
Classi d	i pericolosità idraulica [Q50 - Q100 - Q200] (*)
	Pericolosità molto elevata h50 > 1m

	Pericolosità molto elevata h50 > 1m v50 > 1m/s				
	Pericolosità elevata 1m > h50 > 0.5 m h100 > 1m v100 > 1m/s	a moderata			
	Pericolosità media h100 > 0m	a media a elevata a molto elevata			
	Pericolosità moderata h200 > 0m				

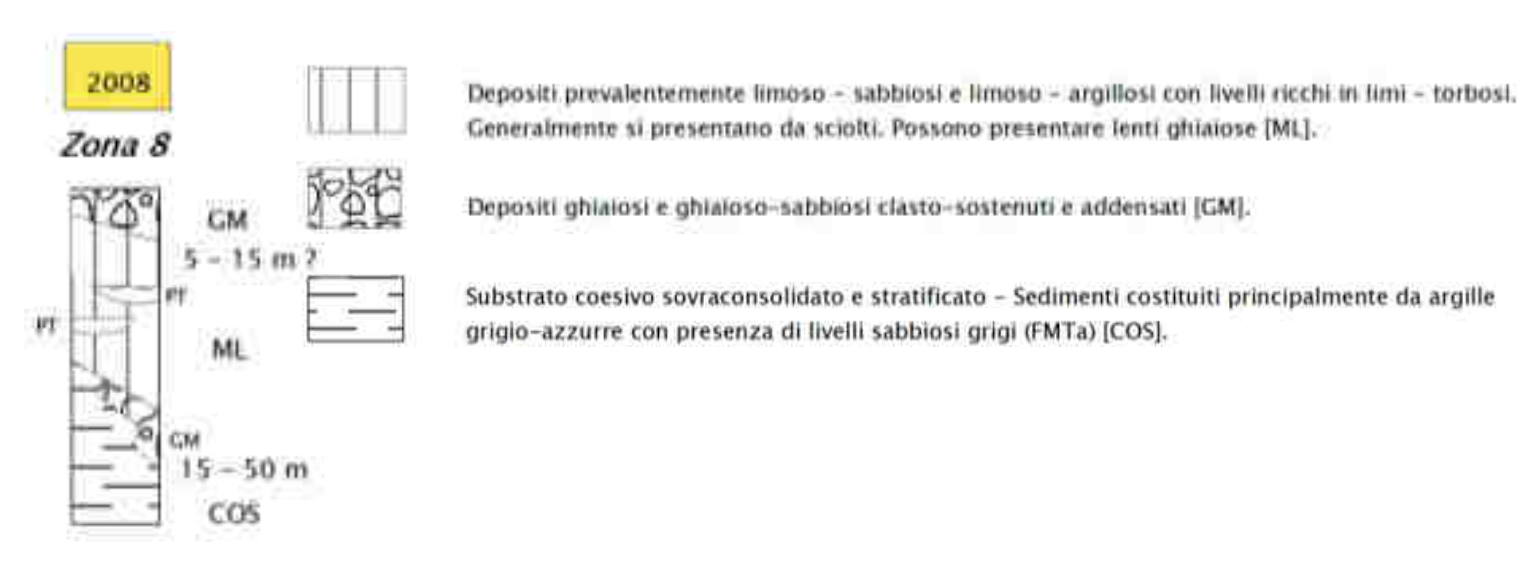
<sup>(\*)</sup> Pericolosità idraulica. Per ogni riga il verificarsi di almeno una delle condizioni riportate, in assenza delle condizioni delle righe immediatamente superiori, sancisce l'appartenenza alla classe di pericolosità idraulica

# MICROZONAZIONE SISMICA COMUNE DI PESCARA

CARTA DELLE MICROZONE OMOGENEE IN PROSPEZIONE SISMICA SCALA 1:5000



### Zone stabili suscettibili di amplificazione locali



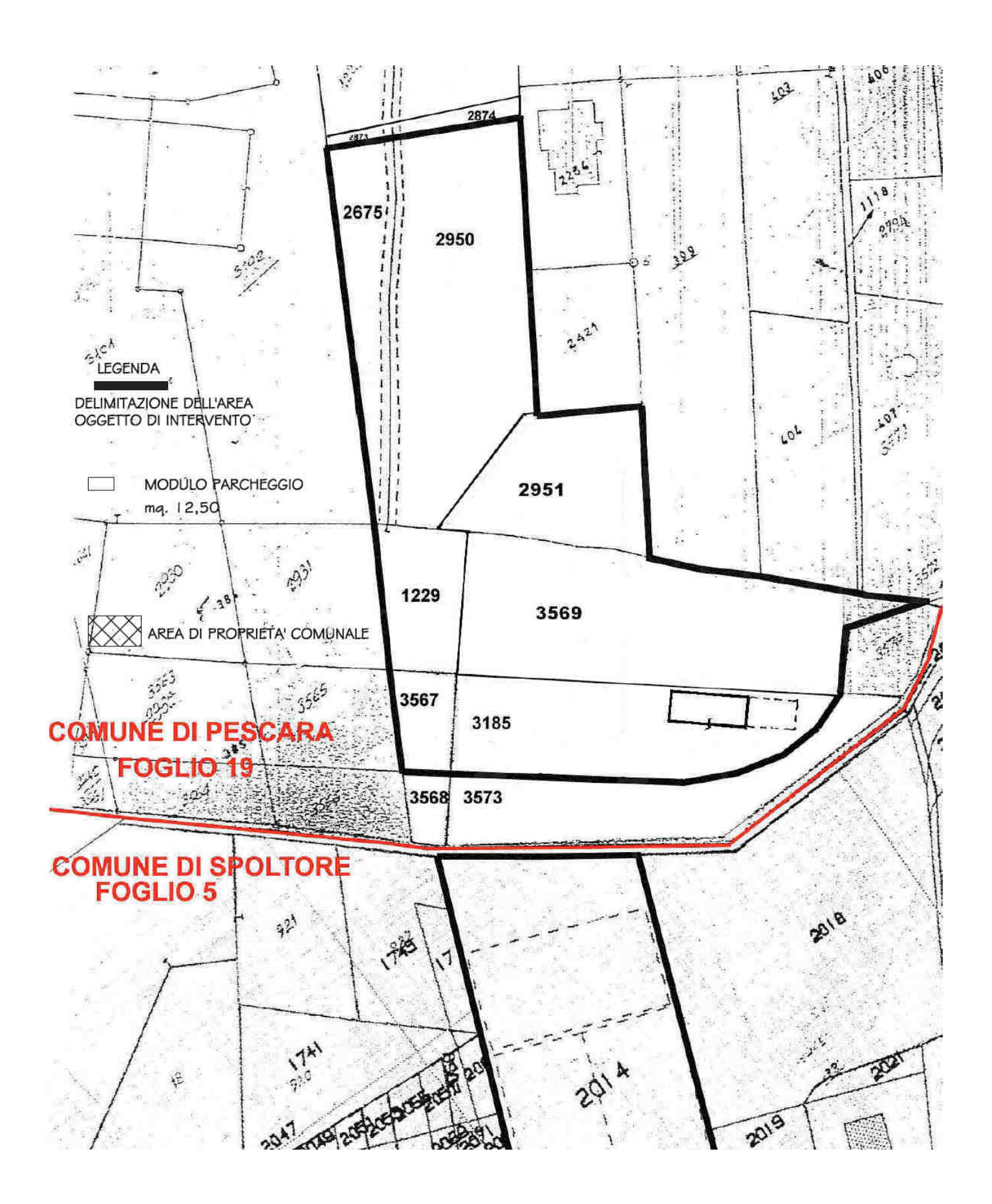
### Zone di attenzione per instabilità



ZALQ1 - Zona di attenzione per instabilità di liquefazione tipo 1 (Zona 2010) Nalla zona della piana alluvionale del Fiume Pescara (Zone 2007 e 2011) e di Fosso Grande (Zona 2008) si ha la presenza di aree con possibili importanti variazioni tridimensionali alla scala di sito delle caratteristiche geotecniche dei materiali fini alluvionali (es. torbe e argille organiche), che potrebbero determinare fenomeni di cedimenti oltre apresenza di possibili lenti discontinue di materiale granulare potenzialmente liquefacibili.

# PLANIMETRIA CATASTALE

FOGLIO N. 19 PARTICELLA N. 2675 - 2950 - 2951 - 1229 - 3569 - 3567 - 3185 - 3568 - 3573



# PLANIMETRIA GENERALE

PROVA PENETROMETRICA STATICA 200 Kn "CPT" PROVA SISMICA "H/V" PROVE PENETROMETRICHE SONDAGGIO GEOGNOSTICO VERDE E AREA GIOCHI LEGENDA DELIMITAZIONE DELL'AREA
OGGETTO DI INTERVENTO mq. 1850 MODULO PARCHEGGIO mq. 12,50 AREA DI PROPRIETA' COMU EDIFICIO VERDE Aree Pedonali Strada di accesso Zona di manovra ma. 760 altra ditta beach beach volley volley CANCELLO DI INGRESSO mq. 228 mq. 228 STRADA CICLO-PEDONALE DI ACCESSO AL PARCO FLUVIALE P P nq. mc, 105,83 312,00 401,09 2,320,00 2,735,40 500,00 577,00 1983,00 625,00 877,68 7,805,00 2,632,00 EDIFICIO/Cpti P CAMPO 2 mg. 760 NUOVO /\* H/V 1 P mq. 401.09 **~** P mc. 2320 P | SUPERFICIE DEGLI IMPIANTI SPORTIVI | Lato B/m | Lato 760,00 760,00 760,00 227,70 227,70 2.735,40 F0550 ( P P P P P P P PARCHEGGIO PRIVATO P P P P

#### **SONDAGGIO S1**

Comm	ittent	te	C	ALVARESI ANTONIO	Unità	C.	۷.۱	V. 4	400	)		1
	Perforazione Rotazione ø101mr						1					
Opera Ampliamento impianto sportivo					Rivestimento ø 127 mm.							
					Sh=Shelly, Mz=Mazier, Os=Osterberg							
					Geologo POZZI SANDRO							
Località Via Pizzo Intermesoli -PESCARA				Data di perfor	azio	one	е	05/	/08/			
Profondità	Spessore		Stratigrafia	DESCRIZIONE LITO		Falda	P	ene	etro	ket me mq.	U	1 420
-1,00	1,00			Terreno vegetale costituito da limi sabbiosi alterati con presenza di resti								ALM LONG
-5,00	4,00			limi sabbiosi con argilla di nocciola talora con sfu azzurrognole e presenza carboniosi puntiformi sparsi, consistenza (Orizzonte Litol	mature grigie- a di sfrustoli di media bassa							
0,00				limi argillosi debolmente sab								Committee Commit
	3,50			intercalazione di livelletti sa limose di colore avana con sm azzurrognole e presenza di f sparsi, di consistenza bas	acchiature grigie- rustoli carboniosi							
-8,50 -10,00	1,50			(Orizzonte Litologico "C") limi argillosi di colore grigio di livelletti sottili centimetrio di consistenza molto bassa	i di sabbia fine,				+			
				e compressibili (Orizzonte L	•				+			
								#	ł	Ħ	Ħ	
											П	
							H	+	╁	H	H	
							H	-	+	H	Н	
							H	+	+	+	H	
							$\vdash$	+	$\dagger$	H	Ħ	
								+		$  \uparrow  $	H	

### Dott. geol. Andrea POZZI

Via S. Nicola, 36 - 65019 Pianella (PE) Tel. 085 973253 - Cell. 340 0625329

## PROVE PENETROMETRICHE MECCANICHE / ELETTRICHE SCHEDA PENETROMETRO

Riferi@AleVARESI ANTONIO e

Committente CALVARESI ANTONIO e ORLANDO COSTANTINA MARIA

Cantiere Realizzazione di un nuovo impianto sportivo, comportante variazione allo strumento urb<mark>anistico</mark>

Località Via Pizzo Intermesoli - Pescara.

SP200 GeoDeepDrill

Sigla SP200 Nominativo o sigla dello strumento

Beta eff.

Coefficiente Effettivo suggerito dal costruttore del penetrometro

M(massa)

Massa del Maglio Battente agente sulla batteria di aste

H(maglio)

Altezza di caduta o corsa del maglio (toll. da 0.01m a 0.02m)

L(aste) 1,00 m Lunghezza delle aste utilizzabili, variabile da 1.00m a 2.00m (toll. da 0.1% a 0.2%)
M(aste) Peso al metro lineare delle aste (N.B. indipendente dalla lunghezza delle aste)

M(sistema)

A(punta)

Massa del complesso asta di guida - testa di battuta

A(punta)

10,00 cm²

Area della superficie laterale del cono della punta

Alfa(punta) Angolo di apertura della punta conica variabile tra 60° e 90°

Prf.(1°asta) Profondità di giunzione della prima asta infissa

N 0,20 m Penetrazione standard, tratto di penetrazione per quale sono necessari Nx colpi

**Rivest.** Previsto uso di rivestimento delle aste o uso di fanghi

ø(punta) 50,00 mm Diametro della punta conica integra, cioè non soggetta ad usura (toll. da 0.3 a 0.5mm)

MaxCE% Massima compressione elastica consentita rispetto alla penetrazione

L/DM Rapporto tra la lunghezza e il diametro del maglio di battuta

**D(tb)** Diametro della testa di battuta.

DEV(a)[<5m] Deviazione massima delle aste dalla verticale nei primi 5.00 metri
DEV(a)[>5m] Deviazione massima delle aste dalla verticale oltre i 5.00 metri

ECCmax(a) Massima eccentricità consentita alle aste

Dest(aste) Diametro esterno delle aste (toll. max 0.2mm)

Dint(aste)
Diametro interno delle aste cave (toll. da 0.2mm a 0.3mm)
Dmin(punta)
Minimo diametro consentito per la punta conica usurata

hcl(punta) Altezza del cilindro alla base del cono della punta (toll. da 1.00mm a 2.00mm)

Ras(punta) Rastremazione del cono nella parte alta

Hc(punta) Altezza della parte conica della punta non soggetta ad usura (toll. da 0.1mm a 0.4mm)

RangeCP Massimo numero di colpi utile Spinta Spinta nominale strumento

Realizzazione di un nuovo impianto sportivo, comportante variazione allo strumento urbanistico

Via S. Nicola, 36 - 65019 Pianella (PE) Tel. 085 973253 - Cell. 340 0625329

## PROVA PENETROMETRICA STATICA MECCANICA LETTURE CAMPAGNA E VALORI TRASFORMATI

CPT 1

Riferi@AbVARESI ANTONIO e

Committente CALVARESI ANTONIO e ORLANDO COSTANTINA MARIA

Cantiere Realizzazione di un nuovo impianto sportivo, comportante variazione allo Via Pizzo Intermesoli - Pescara.

U.M.: kg/cm² Data esec. 09/07/2020

strumento urbanistico
Falda -3,40 m da p.c.

	1.4					_	D.	ı						_	D.
H m	L1 -	L2 -	Lt -	<b>qc</b> kg/cm²	<b>fs</b> kg/cm²	F -	Rf %	H m	L1 -	L2	Lt -	<b>qc</b> kg/cm²	<b>fs</b> kg/cm²	F -	Rf %
0,20 0,40	20,0 17,0	25,0 27,0		40,00 34,00	1,33 1,73	30 20	3,3 5,1	15,20 15,40	12,0 17,0	24,0 30,0		24,00 34,00	1,73 2,00	14 17	7,2 5,9
0,60	13,0	26,0		26,00	1,73	15	6,7	15,60	17,0	32,0		34,00	1,73	20	5,1
0,80 _ <b>_1,00</b>	13,0 6,0	26,0 15,0		26,00 _ <u>12,00</u> _	1,20 <u>2,00</u>	22 6_	4,6 _ <u>16,7</u> _	15,80 _ <b>16,00</b>	14,0 10,0	27,0 22,0		28,00 20,00	1,60 <u>0,93</u>	18 22_	5,7 4,7
1,20	4,0	19,0		8.00	1 73	5	21,6	16,20	7,0	14,0		14,00	1,07	13	7,6
1,40 1,60	4,0 6,0	17,0 18,0		8,00 12,00	1,60 1,47 1,47	5 8	20,0 12,3	16,40 16,60	2,0 6,0	10,0 13,0		4,00 12,00	0,93 0,53	4 23	23,3 4,4
1,80	7,0	18,0		14,00	1,47	10	10,5	16,80	4,0	8,0		8,00	0,40	20	5,0
_ <b>_2,00</b> 2,20	_ <u>10,0</u> _ 6,0	<u>21,0</u> 18,0		- <u>20,00</u> - 12,00	<u>1,60</u> 1,33	1 <u>3</u> _ 9	8,0 11,1	_ <b>17,00</b> 17,20	3,0	<u>6,0</u> 5,0		6,00 6,00	<u>0,27</u>	22_	4,5 8,8
2,40	4,0	14,0		8,00 14,00	1,07 1,07	9 7	13,4 7,6	17,40	2,0	6,0		4.00	0.53	8	13,3 6,7
2,60 2,80	7,0 7,0	15,0 15,0		14,00	1,07	13 13	7.6	17,60 17,80	3,0 2,0	7,0 5,0		6,00 4,00	0,40	15	6,7
3,00	6,0	14,0		- 12,00 10,00	0.93	13_	7,8								
3,20 3,40	5,0 2,0	12,0 8,0		4.00	0,80 0,80	13 5 6	8,0 20,0								
3,60	2,0	8,0		4,00 10,00	0,67		16,8								
3,80 <b>4,00</b>	5,0 7,0	10,0 1 <u>4,0</u>		_ <u>14,00</u>	0,93 <u>1,20</u>	11 1 <u>2</u> _	9,3 8,6								
4,20 4,40	5,0	14,0 11,0		10,00 8,00	0,93 0,80	11 10	9,3 10,0								
4,60	4,0 3,0	9,0		6 00	0,80 0,80 0,80	8	13,3								
4,80 _ <b>_5,00</b>	3,0 6,0	9,0 1 <u>2,0</u>		6,00	0,80	<u>1</u> 1_	13,3 8,9								
5,20	3,0	11,0		6,00 6,00 12,00 6,00 6,00	<u>1,07</u> 0,80	8	13,3								
5,40 5,60	3,0 3,0	9,0 7,0		6,00 6,00	0,53 0,40	11 15	8,8 6,7								
5,80	1,0	4,0		2,00	0.40	5	20.0								
<b>6,00</b> 6,20	2,0 1,0	<u>5,0</u> 3,0		- 4 <u>,00</u> - 2,00	0,27 0,27	1 <u>5</u> _ 7	6,8 13,5								
6,40	1,0	3,0		2 00	0.13	15	6,5								
6,60 6,80	1,0 1,0	2,0 1,0		2,00 2,00	0,00 0,13	15 15	0,0 6,5								
7,00	1,0	<u>2,0</u>		2,00	0.00	15_	0,0								
7,20 7,40	1,0 1,0	1,0 2,0		2,00 2,00	0,13 0,27 0,27	15 7	6,5 13,5								
7,60	1,0	3,0		2,00	0,27	7 7	135								
7,80 _ <b>_8,00</b>	1,0 1,0	3,0 <u>2,</u> 0		2,00 2,00	0,13 0.27	15 7	6,5 _ <b>13,5</b>								
8,20	1,0	3,0		2,00 2,00	0,27 0,00	15 7 7 7	0,0								
8,40 8,60	1,0 1,0	1,0 1,0		2,00	0,00 0,00	7	0,0 0,0								
8,80	1,0	1,0 1,0		2,00 2,00	0,00 <u>0,00</u>	7	0,0								
_ <b>_9,00</b> 9,20	1,0 1,0	1,0 1,0		2.00	0,27	<u>7</u> -	0,0 13,5								
9,40 9,60	1,0 2,0	3,0		2,00 4,00	0,53 0,53	4 8	26,5								
9,80	1,0	6,0 5,0		2.00	0,40	5	13,3 20,0								
_ <b>10,00</b>	1,0 1,0	$-\frac{4.0}{4.0}$		2,00 2,00	$- \frac{0.40}{0.40}$	<u>- 5</u> - 5	- <u>20,0</u> - 20,0								
10,40	1,0	4,0		2.00	0.13	15	6,5								
10,60 10,80	1,0 1,0	2,0 1,0		2,00 2,00	0,00 0,00	15 15	0,0 0,0								
_ 11,00	1,0	1,0		2,00	0,00	15_	0,0								
11,20 11,40	1,0 1,0	1,0 2,0		2,00 2,00	0,13 0,27	15 7	6,5 13,5								
11,60	1,0	3,0		2,00	0.40	5	20,0								
11,80 _ <b>12,00</b>	1,0 1,0	4,0 <u>2,0</u>		2,00 2,00	0,13 <u>0,00</u>	15 1 <u>5</u> _	6,5 0,0								
12,20	1,0	1,0		2.00	0,27	7	13,5								
12,40 12,60	2,0 1,0	4,0 3,0		4,00 2,00	0,27 0,00	15 15	6,8 0,0								
12,80	1,0	1,0		2,00	0,00	15	0,0								
1 <b>3,00</b>	1,0 1,0	<u>1,0</u> 1,0		2,00 2,00	<u>0,00</u> 0,27	<u>_15_</u> 7	0,0 13,5								
13,40	1,0	3,0		2,00	0,13	15 7	6,5								
13,60 13,80	1,0 2,0	2,0 4,0		2,00 4,00	0,27 0,13	31	13,5 3,3								
_ 14,00	5,0 1,0	<u>6,0</u>		_ 10,00	0,40 0,27	25_ 7	4,0 - 13,5								
14,20 14,40	1,0	3,0		2,00 2,00	0,40	5	20,0								
14,60 14,80	4,0 8,0	7,0 15,0		8,00 16,00	0,93 1,33	5 9 12	11,6 8,3								
15,00		20,0		_ 20,00	1,33 <u>1,60</u>	13	8,0								

H = profondità

L1 = prima lettura (punta)

L2 = seconda lettura (punta + laterale)

Lt = terza lettura (totale)

CT =20,00 costante di trasformazione

qc = resistenza punta

fs = resistenza laterale

alla stessa quota di qc

F = rapporto Begemann (qc / fs)

Rf = rapporto Schmertmann (fs /qc)\*100

FON116

### 1 **CPT** PROVA PENETROMETRICA STATICA MECCANICA Riferi@ALVARESI ANTONIO e **DIGRAMMI DI RESISTENZA E LITOLOGIA** U.M.: 09/07/2020 Data esec. kg/cm<sup>2</sup> Committente CALVARESI ANTONIO e ORLANDO COSTANTINA MARIA Realizzazione di un nuovo impianto sportivo, comportante variazione allo strumento sportivo, comportante variazione allo strumento sportivo, comportante variazione allo strumento sportivo della spor Cantiere Località Via Pizzo Intermesoli - Pescara. ofs 20 40 60 80 100 120 140 160 180 200 2,0 6,0 m 0 qc litostratigrafia 10 11 12 13 kg/cm<sup>2</sup> 20 40 60 80 100 120 140 160 180 200 kg/cm<sup>2</sup> 2,0 4,0 6,0 Litology: Personalizzata preforo Penetrometro: SP200 Corr.astine: kg/ml Responsabile: Cod.ISTAT: 068028 Assistente Cod. tip: FON116

## PROVA PENETROMETRICA DINAMICA LEGGERA N. 1

Committente:

CALVARESI ANTONIO & ORLANDO COSTANTINA MARIA

Località:

Via Pizzo Intermesoli - Pescara

Data:

28/07/2006

Progetto:

Ampliamento impianto sportivo

( m)	(N. colpi)	( m)	(N. colpi)						
0,00	0	2,00	12	4,00	10	6,00	6	8,00	3
0,10	3	2,10	12	4,10	8	6,10	6	8,10	4
0,20	4	2,20	10	4,20	10	6,20	7	8,20	3
0,30	4	2,30	12	4,30	9	6,30	5	8,30	3
0,40	7	2,40	11	4,40	9	6,40	6	8,40	3
0,50	6	2,50	9	4,50	9	6,50	7	8,50	3
0,60	5	2,60	8	4,60	9	6,60	6	8,60	4
0,70	4	2,70	6	4,70	7	6,70	4	8,70	3
0,80	5	2,80	8	4,80	5	6,80	6	8,80	3
0,90	7	2,90	10	4,90	5	6,90	6	8,90	2
1,00	6	3,00	8	5,00	4	7,00	5	9,00	2
1,10	10	3,10	10 .	5,10	4	7,10	6	9,10	
1,20	12	3,20	9	5,20	- 5	7,20	6	9,20	
1,30	14	3,30	8	5,30	6	7,30	4	9,30	
1,40	12	3,40	10	5,40	. 6	7,40	4	9,40	
1,50	12	3,50	9	5,50	4	7,50	5	9,50	
1,60	13	3,60	9	5,60	5	7,60	4	9,60	
1,70	14	3,70	11	5,70	6	7,70	5	9,70	
1,80	14	3,80	8	5,80	5	7,80	4	9,80	
1,90	13	3,90	10	5,90	6	7,90	5	9,90	
								10,00	

	1	

## DINAMIC - PENETROMETER TEST P1

	10	20	30	40	50	60	70	Litologia		H 2	C
								e e			
								e e e e e e e e e e e e e e e e e e e			
								, k			
								e e			
								e <sup>©</sup>			
								e e			
								E.			
						<del>                                      </del>	1111	1			
					111111111111111111111111111111111111111				. 1	l .	
						<del>                                      </del>	11111	1		li .	
									1	1	
			111111111111111111111111111111111111111	+++++++	шшш	ППППППППППППППППППППППППППППППППППППППП	Ш	1	1		
				<del>                                      </del>	+++++++		++++	1		£.	
			<del>                                      </del>	<del>                                      </del>	<del>      </del>	<del>                                      </del>	HHH	1	1	£.	
								ì	1	ľ.	
		1111111			нипп	и п	HHH			í	
		1111111	<del>                                      </del>	<del>                                      </del>	+++++++	<del>                                      </del>	11111	-			
	The state of the s								1	ě.	
		THIT							1		
	<del>                                      </del>	11111111		<del>                                      </del>	HHHHH	111111111111111111111111111111111111111	++++			ii .	
H	<del>                                      </del>	+++++++		<del>                                      </del>	<del>                                      </del>	<del>                                      </del>					
										li .	
-		1111111								Ē	
+	<del>                                     </del>	11111111		<del>                                     </del>	++++++	<del>                                      </del>	++++			į.	
		1111111			11111111		1111			í.	
										į.	
1	<del>{                                      </del>	1111111		111111111111	1111111	инини			: :	ĺ.	
H	<del>}{}</del>	<del>11111111</del>	<del>                                      </del>	<del>                                      </del>	++++++	<del>                                      </del>	++++		1		
									1	Ē	
								-			
Н	<del>!   64   1   1   1   1   1   1   1   1   1   </del>	+++++++			<del>                                      </del>		++++	- 1		ŝ	
1	<del>    <u>                                  </u></del>	11111111	<del>                                     </del>	<del>                                      </del>	<del>                                      </del>	<del>1111111111</del>	11111	1	1	į.	
										į.	
1	<del>                                      </del>	4444444		11111111	1111111		++++				
+	<del>                                      </del>	++++++		<del>                                      </del>	<del>                                      </del>	<del>                                      </del>	HH	1			
H		1111111		<del>                                     </del>	<del>                                      </del>						
I									XIX		
H	<del>                                      </del>	111111				<del>                                      </del>	HHH		- 1	1	len.
H	<del>                                      </del>	+++++++	<del>                                      </del>	<del>                                      </del>	<del>1111111</del>	<del>                                      </del>	1111	-C . 1 Squ	2117	3 7 1	
									1 1		
ш		1111111		111111111	11111111		HHH	j	1 1	1	
H	<del>-                                      </del>			<del>                                      </del>	<del>++++++</del>	<del>                                      </del>	++++		1 1		
H		1111111			111111111				1	ĺ	
口										ŧ.	
1		1111111		HHHHH	111111111111111111111111111111111111111		11111			Į.	
H	<del>                                     </del>	1111111		111111111	11111111	<del>                                      </del>	HHH		. 1	ł.	
t									1		
		1111111	инипп	ППППП	HHHH	HHHHH	HHH		1	į.	
H	<del></del>	1111111	<del>                                      </del>	<del>                                      </del>	<del>                                      </del>	<del>                                     </del>	HHH		1 1	Į.	
H		1111111		<del>                                      </del>	<del>1111111</del>				1 1	i	
H		HIIII	mmmilli	ПППП			ШП				
I		1111111	ПППП	ини	1111111	1111111111	HHH	1		1	
H				++++++++++++++++++++++++++++++++++++	+++++++	+++++++++	++++			1	
H	<del>                                      </del>	1111111	<del>                                      </del>		11111111					i	
T		ППП		шшш			ШШ			1	
П		$\mathbf{H}$	нини	нини	1111111	++++++++++	11111	3			
H		++++++	<del>                                      </del>	<del>                                      </del>	+++++++	++++++++				į.	
H		11111111					ШП	V.		}	
					-	-	HHH			i	
										e e	
H	<del>-1_0                                      </del>	11111111	<del>                                      </del>	<del>                                      </del>	++++++	<del>                                      </del>				Ī	
					11111111	1111111111	11111			1	
I			ШШШ	<b>НИППП</b>	ППППППППППППППППППППППППППППППППППППППП		HHH			1	
H		11111111	<del>{                                     </del>		+++++++	+++++++++				1	
H	<del></del>	++++++	<del>                                      </del>	<del>                                     </del>	111111111				JIE .	120	
I							HHH			1	
I		НИПП	инии	HHHHH	111111111111111111111111111111111111111	111111111111111111111111111111111111111	+++++		F = 4	1	
H	444444444444444444444444444444444444444	1111111	<del>                                     </del>	++++++	+++++++	1111111111	++++			1	
H										1	
					ППППП	инии п	HHH			1	
H		1111111	111111111111111111111111111111111111111		++++++	+++++++++	++++			1	

## PROVA PENETROMETRICA DINAMICA LEGGERA N. 2

Committente: CALVARESI ANTONIO & ORLANDO COSTANTINA MARIA

Località:

Via Pizzo Intermesoli - Pescara

Data:

28/07/2006

Progetto: Ampliamento impianto sportivo

(m)	(N. colpi)	(m)	(N. colpi)	(m)	(N. colpi)	( m)	(N. colpi)	( m)	(N. colpi)
0,00	0	2,00	12	4,00	9	6,00	7	8,00	5
0,10	4	2,10	10	4,10	8	6,10	5	8,10	5
0,20	6	2,20	12	4,20	8	6,20	4	8,20	3
0,30	4	2,30	11	4,30	10	6,30	4	8,30	2
0,40	7	2,40	14	4,40	8	6,40	6	8,40	3
0,50	4	2,50	10	4,50	10	6,50	5	8,50	4
0,60	4	2,60	7	4,60	7	6,60	6	8,60	2
0,70	7	2,70	8	4,70	6	6,70	4	8,70	2
0,80	5	2,80	7	4,80	5	6,80	4	8,80	3
0,90	6	2,90	7	4,90	5	6,90	5	8,90	3
1,00	8	3,00	8	5,00	6	7,00	4	9,00	
1,10	13	3,10	11	5,10	4	7,10	4	9,10	
1,20	12	3,20	9	5,20	7	7,20	4	9,20	
1,30	12	3,30	8	5,30	4	7,30	3	9,30	
1,40	14	3,40	10	5,40	6	7,40	5	9,40	
1,50	15	3,50	12	5,50	6	7,50	4	9,50	
1,60	14	3,60	8	5,60	5	7,60	5	9,60	
1,70	14	3,70	11	5,70	6	7,70	5	9,70	
1,80	14	3,80	10	5,80	6	7,80	6	9,80	
1,90	15	3,90	8	5,90	5	7,90	4	9,90	
								10,00	

Nota:			

#### DINAMIC - PENETROMETER TEST P2

## PROVA PENETROMETRICA DINAMICA LEGGERA N. 3

Committente:

CALVARESI ANTONIO & ORLANDO COSTANTINA MARIA

Località:

Via Pizzo Intermesoli - Pescara

Data:

28/07/2006

Progetto:

Ampliamento impianto sportivo

( m)	(N. colpi)	(m)	(N. colpi)						
0,00	0	2,00	9	4,00	7	6,00	5	8,00	5
0,10	5	2,10	12	4,10	9	6,10	6	8,10	4
0,20	5	2,20	10	4,20	8	6,20	5	8,20	3
0,30	4	2,30	10	4,30	6	6,30	5	8,30	3
0,40	7	2,40	11	4,40	6	6,40	5	8,40	2
0,50	4	2,50	9	4,50	7	6,50	7	8,50	4
0,60	4	2,60	10	4,60	7	6,60	6	8,60	3
0,70	6	2,70	8	4,70	6	6,70	4	8,70	3
0,80	5	2,80	9	4,80	7	6,80	6	8,80	3
0,90	6	2,90	8	4,90	6	6,90	4	8,90	
1,00	8	3,00	8	5,00	5	7,00	5	9,00	
1,10	11	3,10	10	5,10	5	7,10	6	9,10	
1,20	10	3,20	9	5,20	6	7,20	5	9,20	
1,30	12	3,30	9	5,30	7	7,30	6	9,30	
1,40	10	3,40	8	5,40	7	7,40	5	9,40	
1,50	11	3,50	8	5,50	6	7,50	6	9,50	
1,60	12	3,60	9	5,60	7	7,60	4	9,60	
1,70	10	3,70	7	5,70	6	7,70	4	9,70	
1,80	13	3,80	7	5,80	5	7,80	4	9,80	
1,90	11	3,90	8	5,90	4	7,90	5	9,90	h l
								10,00	

Nota:			

## DINAMIC - PENETROMETER TEST P3

N DL 030

	N DL 030						121-1-1	- 1	
0 1	10 2	0 30	40	50	60	70	Litologia		H2 C
0						H			
- 1	<del></del>					+++	1	- 1	
Ì							1	- 1	
1				+++++++++++++++++++++++++++++++++++++++	<del>                                     </del>	1111		- }	
- 1	<del>                                      </del>	++++++		<del>                                      </del>	<del>                                      </del>	1111			
- 1							1	-	
.		+++++++	<del>                                      </del>	+++++++++++	<del>                                     </del>	+++	1		
1		111111111111111111111111111111111111111				1111	1		
- 1						Ш	1		
- 1	<del>┪┩┇╏╏╏╏╏╏╬╬╇╏╏╏╏╏╏╏</del>	++++++	<del>                                     </del>	<del>+++++++++++++</del>	<del>                                      </del>	+++1			
						111			
Į						$\mathbf{H}$	1		
- 1	<del>-}-}-</del>	<del>111111111</del>		<del>,,,,,,,,,,,,,,,,,,,,,,,,,,,,,,,,,,,,,</del>	<del>                                     </del>	+++			
- 1									
2						+++1			
-	<del></del>	<del></del>		<del>.,,,,,,,,,,,,,,,,,,,,,,,,,,,,,,,,,,,,</del>		+++	1		
							1		
- 1							1		
- 1	<del></del>					+++	1		
- 1							1		
1	<del></del>			<del></del>	<del>                                     </del>	++++			
3				<del>                                      </del>		111	1		
١						$\Pi$	1		
- 1				<del>                                      </del>	<del>                                     </del>	+++			
Ì						111			
- 1	<del></del>					+HH			
- 1				<del>                                      </del>		1111			
						Ш	1		
.	<del>▗▍▋▋▋▋▋█</del> ▋ <del>▊</del> ▋▋▋▋▋		<del>                                      </del>	<del></del>	<del>┋┋┋┋┋</del>	+++	1	- 1	
4							-		
- (						1111			
1	<del>-1-1-1-1                                </del>			<del></del>		+++	1		
1							1	- 1	
- 1						1111	1	1	
- 1		+++++++		<del>                                     </del>	<del>                                      </del>	+++		- 1	
- (									
5						+++	1		
		<del>                                      </del>		<del>                                      </del>		1111	1		
- 1						TITI	1	Ì	
- 1	<del></del>			<del></del>	<del>                                      </del>	+++	1	i	
1						1111		- 1	
						Ш			
- 1	<del>╶╎╏╏╬╃╏╏╏╏╏╏╏╏</del>	+++++++++		<del></del>	<del>                                     </del>	+HH	1	- 1	
6							1	- 1	
0						$\mathbf{H}$	1	- 1	
	<del></del>	<del>-11111111</del>	<del>                                     </del>	<del></del>		+++	1	- 1	
								- 1	
				+++++++++++++++++++++++++++++++++++++++				1	
			<del>                                      </del>	<del>                                      </del>			1		
Ų	****					Ш	1	1	
_				<del></del>	<del>                                     </del>			- 1	
7							1	- 1	
			+++++++++++++++++++++++++++++++++++++++		<del>                                      </del>		1	- 1	
						Ш		- 1	
			1111111111		+++++++++	+++			
		+++++++++	<del>                                      </del>	+++++++++++++					
						HH		1	
8			+++++++++		+++++++++++++++++++++++++++++++++++++++	111		1	
						Ш	1	1	
			111111111111111111111111111111111111111			+++	1	1	
		111111111111111111111111111111111111111	111111111111111111111111111111111111111				1		
						Ш		1	
					+++++++++		1	-	
	<del>                                     </del>		<del>                                      </del>			Ш	1		
9						HH	{ l		
9				<del>                                      </del>	<del>                                      </del>	111	1 1		
			11111111111			Ш	1		
						HH	-	1	
			++++++++	<del>                                      </del>	+++++++++	+++			
					and the second s	7-1-1-1	1 1		
	<del>                                     </del>					ш	4 1	18	
							1		
10									

## C

## **COMUNE di PESCARA**

PROVINCIA di PESCARA

#### PROGETTO:

Realizzazione di un nuovo impianto sportivo, comportante variazione allo strumento urbanistico, in Via Pizzo Intermesoli del Comune di Pescara.

COMMITTENTI: Antonio CALVARESI - Costantina ORLANDO

# RELAZIONE SULLE INDAGINI SISMICHE

con REPORT DEI RISULTATI

Nr. 1

n	Δ	Т	۱/	١.
$\boldsymbol{\nu}$	$\boldsymbol{\Gamma}$	. 1	Γ	1.

REGIONE ABRUZZO

Luglio 2020

Dott. Geologo Andrea POZZI

### **GENERALITÀ**

La presente caratterizzazione sismica è realizzata per la ricostruzione dei sismostrati e la valutazione della frequenza di risonanza di sito dei terreni per la Realizzazione di un nuovo impianto sportivo, comportante variazione allo strumento urbanistico, in Via Pizzo Intermesoli del Comune di Pescara.

Si è proceduto mediante un'acquisizione di sismica passiva tipo HVSR (*Horizontal to Vertical Spectral Ratios*) della durata di venti minuti, i dati sono stati successivamente elaborati con software *Easy HVSR* della ditta Geostru.

L'indagine sismica è stata realizzata dal Dott. Geol. Andrea POZZI.

# PROVA HVSR PER LA DETERMINAZIONE DELLA FREQUENZA DI RISONANZA

La tecnica HVSR permette in primo luogo di valutare la frequenza di vibrazione naturale di un sito. Le ipotesi alla base della tecnica sono: una concentrazione del contenuto in frequenza localizzato maggiormente in quelle basse (tipicamente al di sotto dei 20 Hz); assenza di sorgenti periodiche e/o con contenuto in alte frequenze; le sorgenti di rumore sono uniformemente distribuite intorno alla stazione di registrazione. Se queste sono soddisfatte, la tecnica può essere suddivisa nelle fasi che vengono di seguito illustrate.

Si esegue una registrazione del rumore ambientale lungo tre direzioni ortogonali tra loro (x,y,z) con una singola stazione. Tale registrazione deve essere effettuate, secondo le indicazioni del progetto SESAME, per una durata minima di compresa tra 15 - 20 minuti.

Si esegue un'operazione detta di windowing, in cui le tre tracce registrate vengono suddivise in finestre temporali di prefissata durata. Secondo le indicazioni del succitato progetto SESAME tale dimensione, detta Long Period, deve essere almeno pari ai 20 secondi. Si ottiene così un insieme di finestre "long", che sono sincronizzate fra le tracce.

Queste finestre vengono filtrate in base a dei criteri che permettono di individuare l'eventuale presenza di transienti (disturbi temporanei con grandi contributi nelle frequenze alte) o di fenomeni di saturazione.

Per ciascuna delle finestre rimanenti, quindi ritenute valide, viene valutato lo spettro di Fourier. Quest'ultimo viene sottoposto a tapering e/o lisciamento secondo una delle varie tecniche note in letteratura e ritenute all'uopo idonee.

Successivamente si prendono in considerazione gli spettri delle finestre relative alle tracce orizzontali in coppia. Ovvero, ogni spettro di una finestra per esempio della direzione X, ha il suo corrispettivo per le finestre nella direzione Y, vale a dire che sono relative a finestre temporali sincrone. Per ognuna di queste coppie viene eseguita una somma tra le componenti in frequenza

secondo un determinato criterio che può essere, ad esempio, una semplice media aritmetica o una somma euclidea.

Per ciascuna coppia di cui sopra, esiste lo spettro nella direzione verticale Z, ovvero relativo alla finestra temporale sincrona a quelle della coppia. Ogni componente in frequenza di questo spettro viene usato come denominatore nel rapporto con quello della suddetta coppia. Questo permette quindi di ottenere il ricercato rapporto spettrale H/V per tutti gli intervalli temporali in cui viene suddivisa la registrazione durante l'operazione di windowing.

Eseguendo per ciascuna frequenza di tali rapporti spettrali una media sulle varie finestre, si ottiene il rapporto spettrale H/V medio, la cui frequenza di picco (frequenza in cui è localizzato il massimo valore assunto dal rapporto medio stesso) rappresenta la deducibile stima della frequenza naturale di vibrazione del sito.

DATE 09/07/2020	HOUR 10:10	PL	ACE Via Pizzo I	ntermesoli - Pescara.	
OPERATOR	GP:	TY PE an	d# wgs 8	4	
LATITUDE 42.459426	LONGITUDE 14.18	7030	ALTITUDE	10 +/- 5	
STATION TY PE	SENSOR TY PE				
STATION#	SENSOR#		DISK#		
STATION #	SENSOR#		DISK#		
FILE NAME 171010	11		POINT#		
GAIN	SAMPL. FREQ.	Hz R	EC. DURATION	15 minutes seconds	
RAIN X none	weak (5m/s) med			ement (if any):ement (if any):	
CONDITIONS Temperature (appro	ox): <u>20°</u> Remarks _				
GROUND	gravel san	ı	rock	$\square$ grass $=$ $\square$ short $\square$ tall	
TYPE asphalt ceme		ved [	other		
	wet soil Remarks _				
ARTIFICIAL GROUND-SENSOR O	OUPLING X no	yes, type			
BUILDING DENSITY none	scattered dense ot	er, type _			
TRANSIENTS STRAISINANT bone many many	MONOCHRON  distance	IATIC NO		tories, works, pumps, rivers,)	
cars X	NEARBY STR (description, heig				
trucks X			`	·	
pedestrians X					
other					
OBSERVATIONS			FREQUENCY: (if computed in the field	250 Hz	

Scheda di riferimento SESAME

Le misurazioni sono state eseguite con un M.A.E. Vibralog, applicato un sensore 3D da superficie.





### Dati generali

Progetto: Realizzazione di un nuovo impianto sportivo, comportante variazione allo strumento

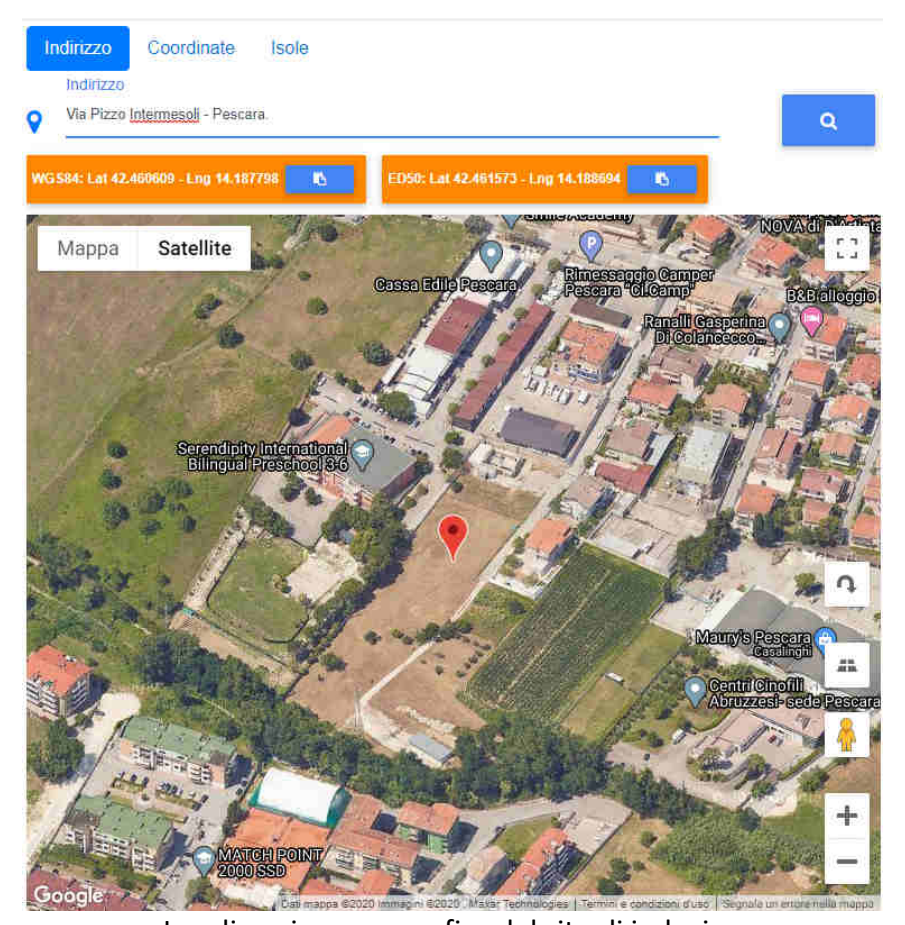
urbanistico

Committenti: Antonio CALVARESI – Costantina ORLANDO

Località: Pescara.

Operatore: Dott. Geol. Andrea POZZI Responsabile: Dott. Geol. Andrea POZZI Zona: Via Pizzo Intermesoli

Data: 09/07/2020 Latitudine: 42.460609 Longitudine: 14.187798



Localizzazione geografica del sito di indagine

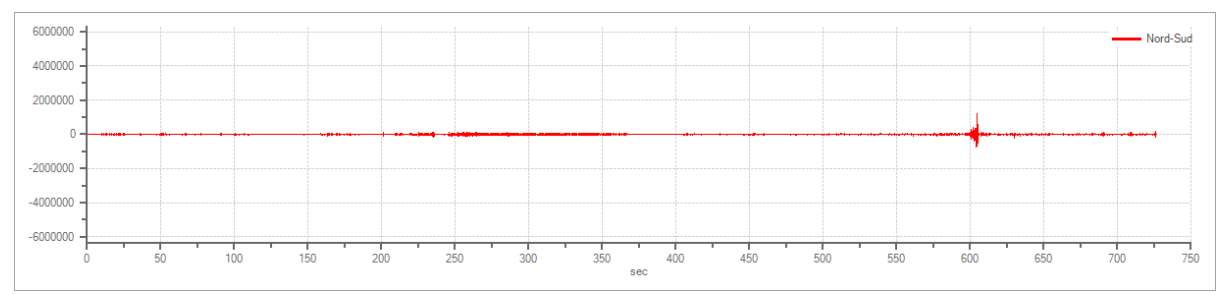
## **Tracce in input**

Dati riepilogativi:

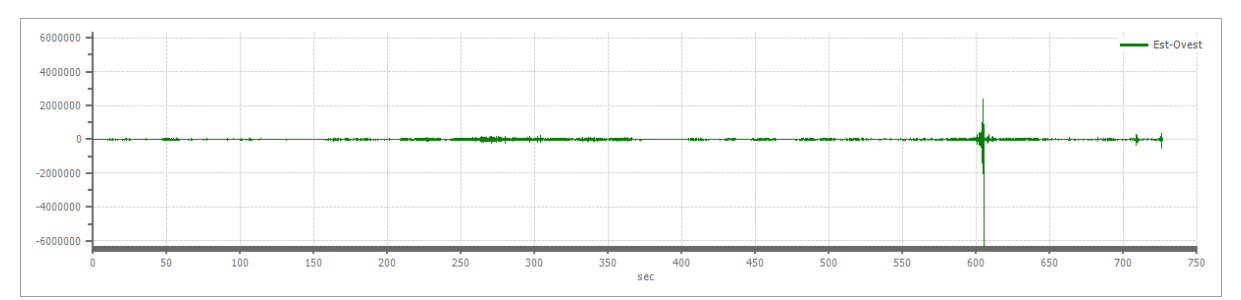
Numero tracce: 3
Durata registrazione: 727 s
Frequenza di campionamento: 250.00 Hz
Numero campioni: 181699

Direzioni tracce: Nord-Sud; Est-Ovest; Verticale.

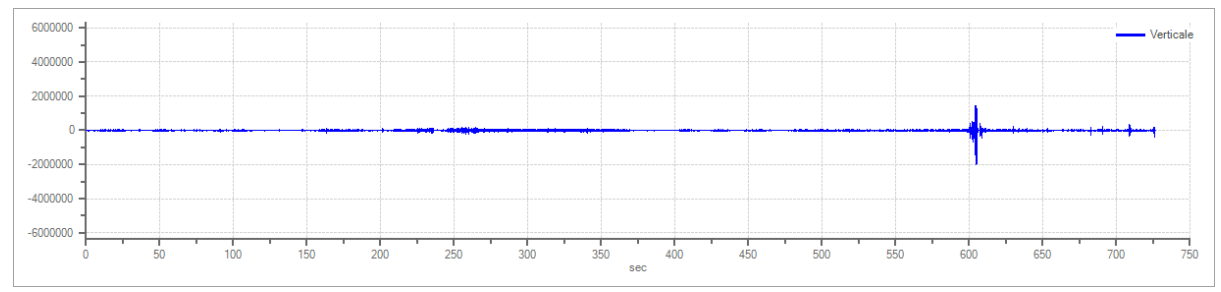
## Grafici tracce:



Traccia in direzione Nord-Sud



Traccia in direzione Est-Ovest



Traccia in direzione Verticale

## Finestre selezionate

<u>Dati riepilogativi:</u> Numero totale finestre selezionate: 35 Numero finestre incluse nel calcolo: 35 Dimensione temporale finestre: 20.000 s

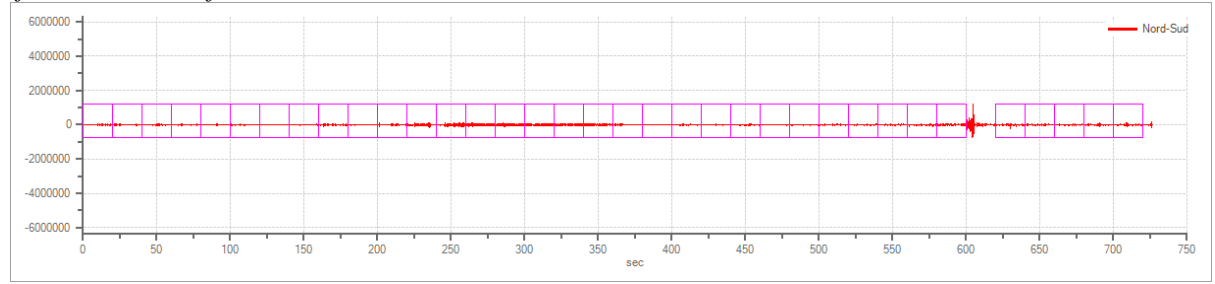
Tipo di lisciamento: Triangolare proporzionale

Percentuale di lisciamento: 19.00 %

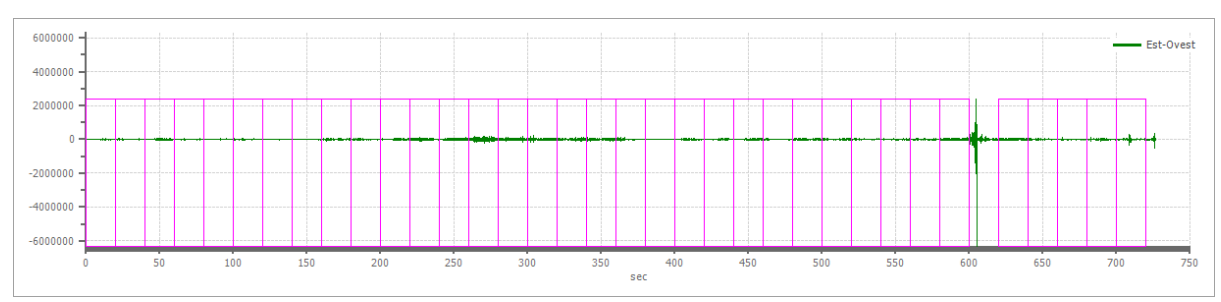
## Tabella finestre:

Numero finestra	Istante iniziale	Istante finale	Selezione
1	0	20	Inclusa
2	20	40	Inclusa
3	40	60	Inclusa
4	60	80	Inclusa
5	80	100	Inclusa
6	100	120	Inclusa
7	120	140	Inclusa
8	140	160	Inclusa
9	160	180	Inclusa
10	180	200	Inclusa
11	200	220	Inclusa
12	220	240	Inclusa
13	240	260	Inclusa
14	260	280	Inclusa
15	280	300	Inclusa
16	300	320	Inclusa
17	320	340	Inclusa
18	340	360	Inclusa
19	360	380	Inclusa
20	380	400	Inclusa
21	400	420	Inclusa
22	420	440	Inclusa
23	440	460	Inclusa
24	460	480	Inclusa
25	480	500	Inclusa
26	500	520	Inclusa
27	520	540	Inclusa
28	540	560	Inclusa
29	560	580	Inclusa
30	580	600	Inclusa
31	620	640	Inclusa
32	640	660	Inclusa
33	660	680	Inclusa
34	680	700	Inclusa
35	700	720	Inclusa

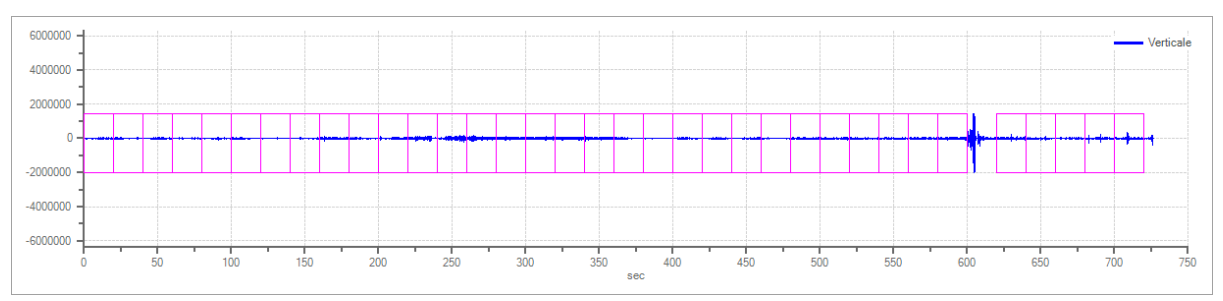
Grafici tracce con finestre selezionate:



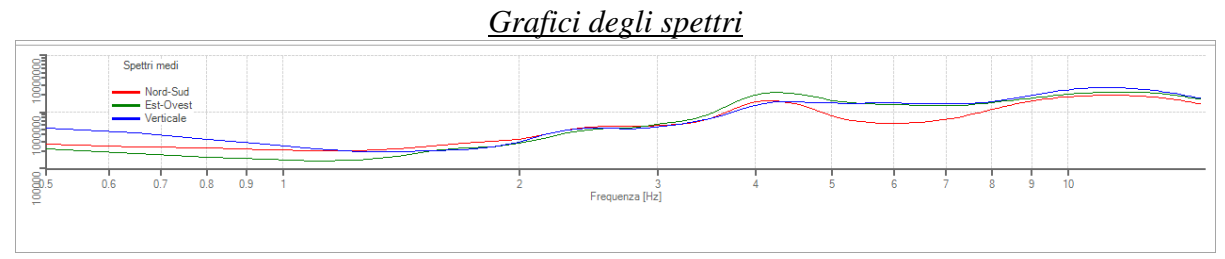
Traccia e finestre selezionate in direzione Nord-Sud



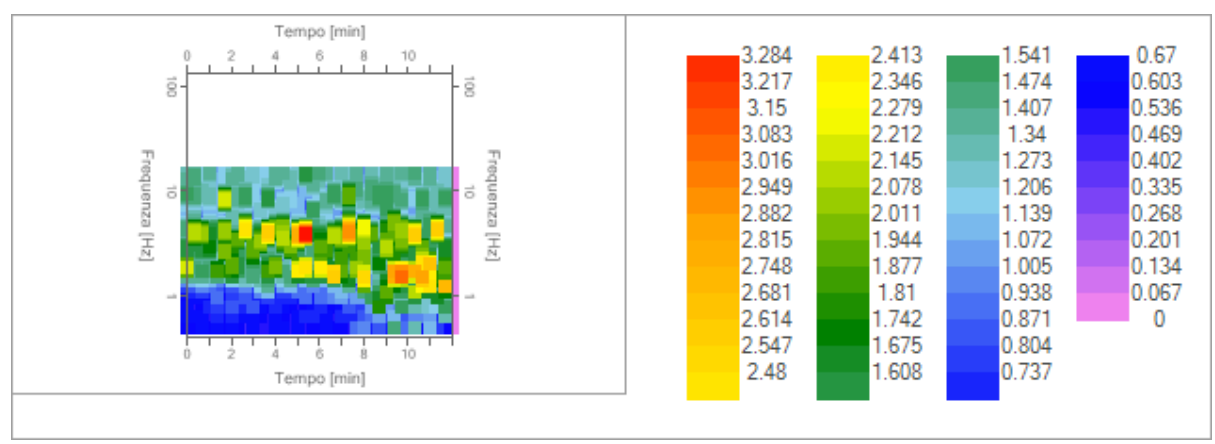
Traccia e finestre selezionate in direzione Est-Ovest



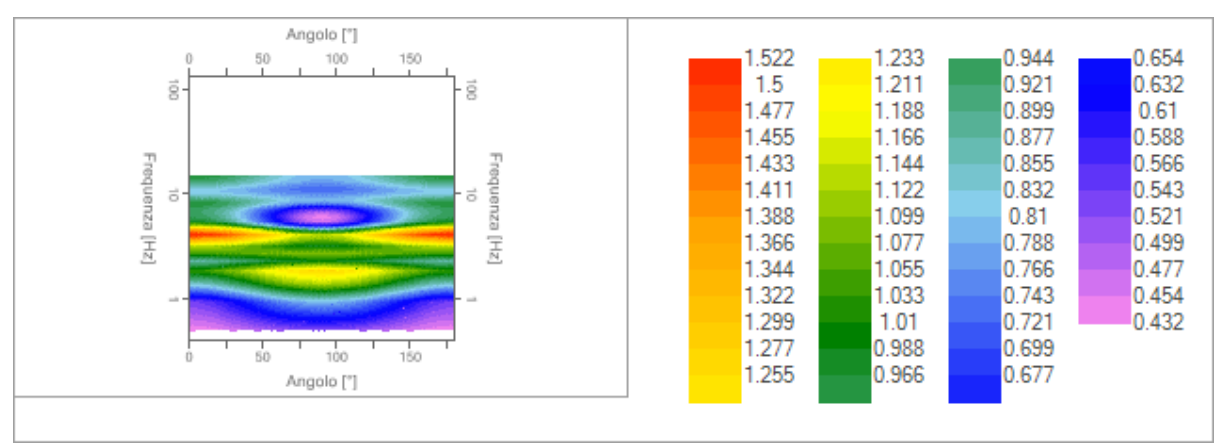
Traccia e finestre selezionate in direzione Verticale



Spettri medi nelle tre direzioni



Mappa della stazionarietà degli spettri



Mappa della direzionalità degli spettri

### Rapporto spettrale H/V

Dati riepilogativi:

Frequenza massima: 15.00 Hz Frequenza minima: 0.50 Hz Passo frequenze: 0.15 Hz

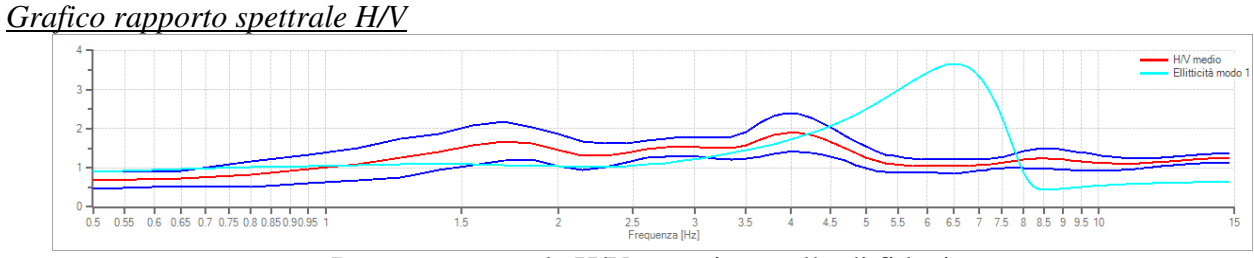
Tipo lisciamento:: Triangolare proporzionale

Percentuale di lisciamento: 19.00 %

Tipo di somma direzionale: Media geometrica

#### Risultati:

Frequenza del picco del rapporto H/V: 3.95 Hz ±0.26 Hz



Rapporto spettrale H/V e suo intervallo di fiducia

### Verifiche SESAME:

Verifica	Esito
$f_0 > 10/l_w$	Ok
$n_c(f_0) > 200$	Ok
$\sigma_A(f) < 2$ per $0.5 \cdot f_0 < f < 2 \cdot f_0$ se $f_0 > 0.5H$ $\sigma_A(f) < 3$ per $0.5 \cdot f_0 < f < 2 \cdot f_0$ se $f_0 < 0.5H$	Ok
$\exists f^- \in [f_0/4, f_0] \mid A_{H/V}(f^-) < A_0/2$	Ok
$\exists f^+ \in [f_0, 4 \cdot f_0] \mid A_{H/V}(f^+) < A_0/2$	Ok
$A_0 > 2$	Non superato
$f_{\text{pieco}}[A_{H/V}(f) \pm \sigma_A(f)] = f_0 \pm 5\%$	Ok
$\sigma_f < \varepsilon(f)$	Ok
$\sigma_A(f_0) < \theta(f_0)$	Ok

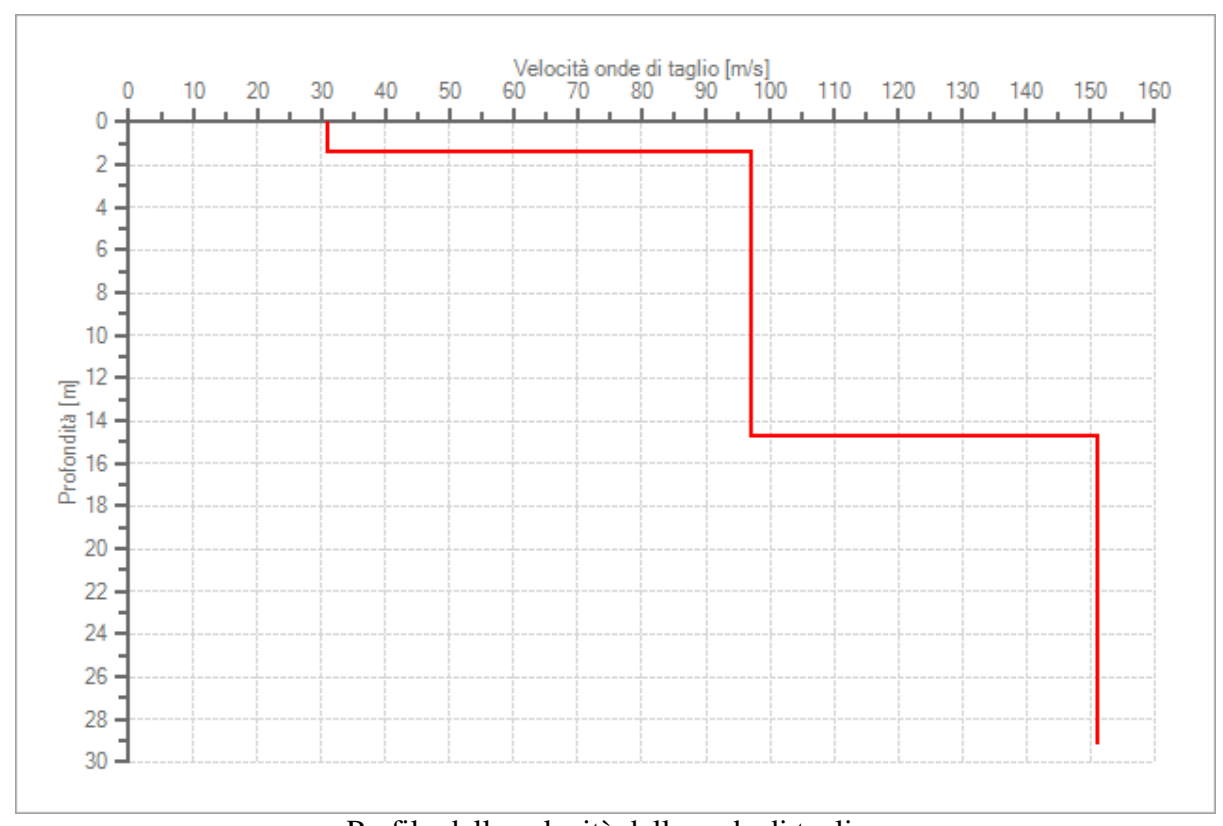
## Modello stratigrafico

### Dati riepilogativi:

Numero strati: 3
Frequenza del picco dell'ellitticità: 6.50 Hz
Valore di disadattamento: 0.65
Valore Vseq: 105.35 m/s

Dati della stratigrafia:

Strato	Profondità [m]	Spessore [m]	Peso per Unità di		Velocità onde
			Vol. [kN/m^3]	Poisson	di taglio [m/s]
1	0	1.45	17	0.3	31
2	1.45	13.27	18	0.3	97
3	14.72	14.51	19	0.3	151



Profilo delle velocità delle onde di taglio.

## **CONCLUSIONI**

In generale non si raggiungono velocità pari o superiori agli 800 m/s. Per quanto riguarda il picco di frequenza di risonanza, questo si manifesta abbastanza evidente, e conforme alle verifiche SESAME.

Dall'analisi la frequenza fondamentale di sito risulta essere pari a **Fo=3,95 Hz**; Ao = 1,90 La media delle velocità delle onde di taglio nei primi trenta metri (Vs30) a partire dal p.c., risulta essere **105,35 m/s** 

## IL SITO IN ESAME RICADE ALLA CATEGORIA DI SOTTOSUOLO D

Categoria di sottosuolo	Descrizione		
D	Depositi di terreni a grana grossa scarsamente addensati o di terreni a grana fine scarsamente consistenti, con profondità del substrato superiori a 30 m, caratterizzati da un miglioramento delle proprietà meccaniche con la profondità e da valori di velocità equivalente compresi tra 100 e 180 m/s.		

## REGIONE ABRUZZO DIREZIONE PROTEZIONE CIVILE E AMBIENTE

Idrografico e Mareografico

Via Catullo n. 2, 65100 PESCARA Tel. 085 61119; 085 60919 - FAX 085 691700



65019

AlGeom. Marco Pozzi Studio Tecnico MP Viale Regina Margherita 23 PIANELLA

Prot. N. 847

OGGETTO:- Portata massima prevedibile: Fiume Fosso Grande

In esito a quanto richiesto con nota prot. n. 847 del 14 gsettembre 2010, si trasmette il dato presunto della portata massima prevedibile del corso d'acqua in oggetto, in riferimento alla corografia trasmessa:

 Fiume Fosso Grande – portata massima prevedibile mc/sec 80 circa, tempo di ritorno anni cento.

Si precisa inoltre che, per il corso d'acqua in esame, la valutazione della portata massima prevedibile è stata effettuata sulla base delle caratteristiche morfologiche del bacino e utilizzando i dati pluviometrici più recenti delle stazioni più prossime all'area di cui trattasi e la sezione indicata nella richiesta del bacino sotteso. Con le valutazioni e le approssimazioni riconducibili alla scala di lettura di 1 a 25.000, è riassumibile a circa 80 mc/sec.

Pertanto i suddetti dati non sono utilizzabili ai fini legali ma solo per gli usi consentiti dalla legge. La formula empirica utilizzata per il calcolo è la formula del prof. Giandotti

Pescara li: 16.09.2010

Il Responsabile Sandro Di Giannantonio

Il Direttore Regionale
Dott. Int. Carld VISCA
P. D. Diol. Luc

Market Medical I di I

